J-PARC T2K実験における 陽子ビーム位置検出回路の開発

2017/2/14 修士論文発表会 自然科学研究科 数理物理科学専攻 素粒子物理学研究室 41428223 彌益紗希

[学会発表]

日本物理学会:2016年秋季大会(2016/9/24),2017年年次大会(2017/3/18),2017年秋季大会(2017/9/12) Unification and Development of the Neutrino Science Frontier (2018/3/5~2018/3/6@京都大学)(予定)

目次

- 1. ニュートリノ振動について
- 2. T2K実験について
- 3. PAPILLON BOARDの動作試験報告
- 4. 動作試験をふまえたFirmwareの改良
- 5. まとめ

陽子ビーム位置検出回路⇒"PAPILLON"と命名。 →beam Position And ProfiLe interLock mOdule for Neutrino experiment



目次

- 1. ニュートリノ振動について
- 2. T2K実験について
- 3. PAPILLON BOARDの動作試験報告
- 4. 動作試験をふまえたFirmwareの改良
- 5. まとめ

陽子ビーム位置検出回路⇒"PAPILLON"と命名。 →beam Position And ProfiLe interLock mOdule for Neutrino experiment



ニュートリノ振動とは

PMNS(Pontecorvo-Maki-Nakagawa-Sakata)行列

督量 固有状態

$$\begin{pmatrix} v_e \\ v_{\mu} \\ v_{\iota} \end{pmatrix} = \begin{pmatrix} 1 & 0 & 0 \\ 0 & \cos\theta_{23} & \sin\theta_{23} \\ 0 & -\sin\theta_{23} & \cos\theta_{23} \end{pmatrix} \begin{pmatrix} \cos\theta_{13} & 0 & \sin\theta_{13}e^{-i\delta_{CP}} \\ 0 & 1 & 0 \\ -\sin\theta_{13}e^{-i\delta_{CP}} & 0 & \cos\theta_{13} \end{pmatrix} \begin{pmatrix} \cos\theta_{12} & \sin\theta_{12} & 0 \\ -\sin\theta_{12} & \cos\theta_{12} & 0 \\ 0 & 0 & 1 \end{pmatrix} \begin{pmatrix} v_1 \\ v_2 \\ v_3 \end{pmatrix}$$



ニュートリノが質量を持つとき、その存在確率はニュートリノ が飛行する距離Lに従って周期的に変化(振動)する

ニュートリノ振動

$$P(\nu_{\mu} \to \nu_{e}) \cong \sin^{2}\theta_{23}\sin^{2}2\theta_{13}\sin^{2}\frac{\Delta m_{31}^{2}L}{4E_{\nu}}$$

 $-\frac{\sin^{2}2\theta_{12}\sin2\theta_{23}}{2\sin\theta_{13}}\sin\frac{\Delta m_{21}^{2}L}{4E_{\nu}}\sin^{2}2\theta_{13}\sin\frac{\Delta m_{31}^{2}L}{4E_{\nu}}\sin\delta_{CP}+\dots$
 $\Sigma_{\nu}:=1$ ートリノのエネルギー

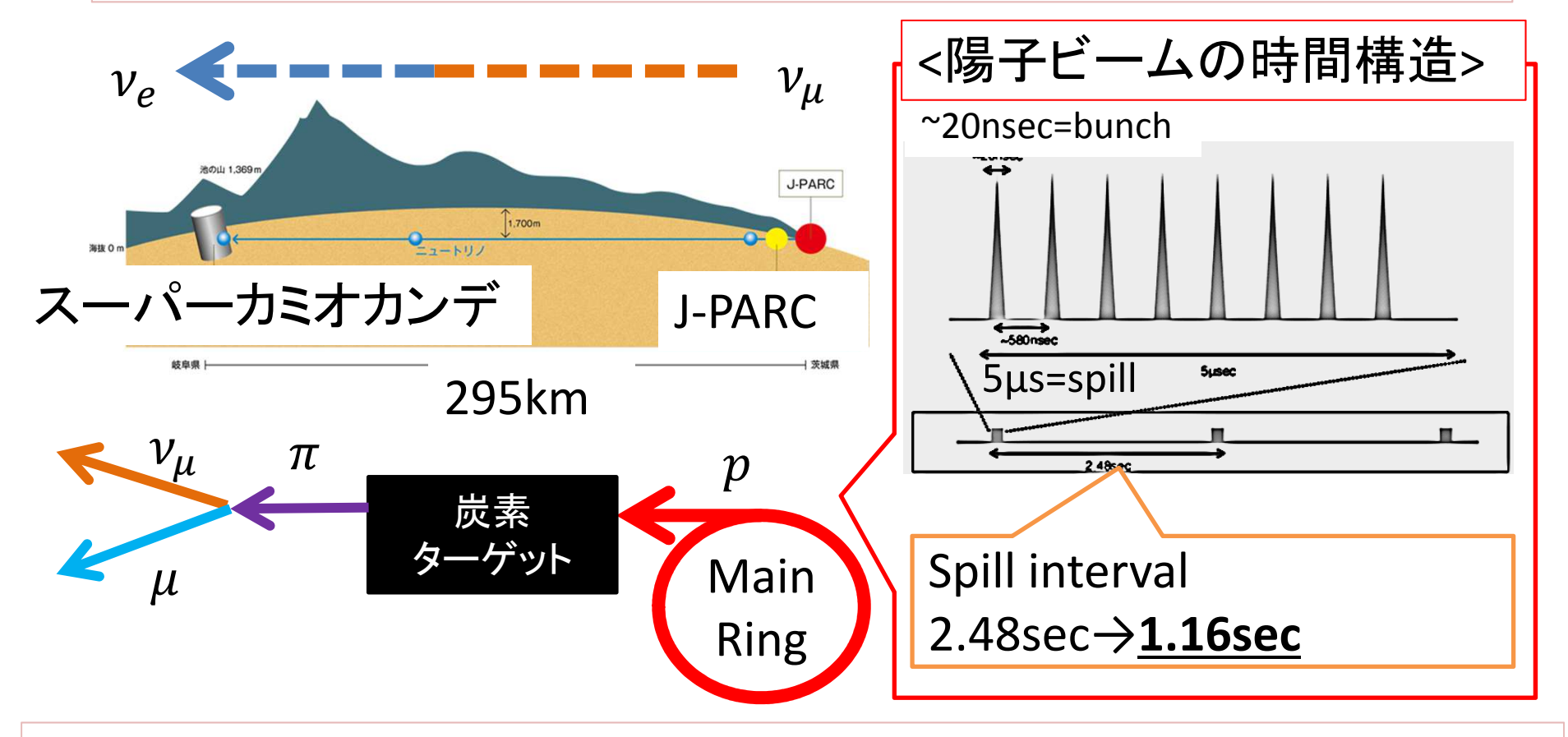
 $\Delta m_{ij}^2 = m_i^2 - m_i^2$ δ_{CP} :CP位相



$$\overline{
u_{\mu}}
ightarrow \overline{
u_{e}}$$
振動の場合 $\delta_{CP}
ightarrow - \delta_{CP}$

 $\delta_{CP} \neq 0$ のとき、 $P(\nu_{\mu} \rightarrow \nu_{e})$ と $P(\overline{\nu_{\mu}} \rightarrow \overline{\nu_{e}})$ で違いが生じる

T2K実験



 $\nu_{\mu} \rightarrow \nu_{e}, \overline{\nu_{\mu}} \rightarrow \overline{\nu_{e}}$ 事象の統計数を現在の9倍に増やし、ニュートリノにおけるCP対称性の破れを99.7%の信頼度で検証することを目指す \rightarrow その方法の1つとして...

繰り返し時間を短縮し、ビームパワーを増強させる!

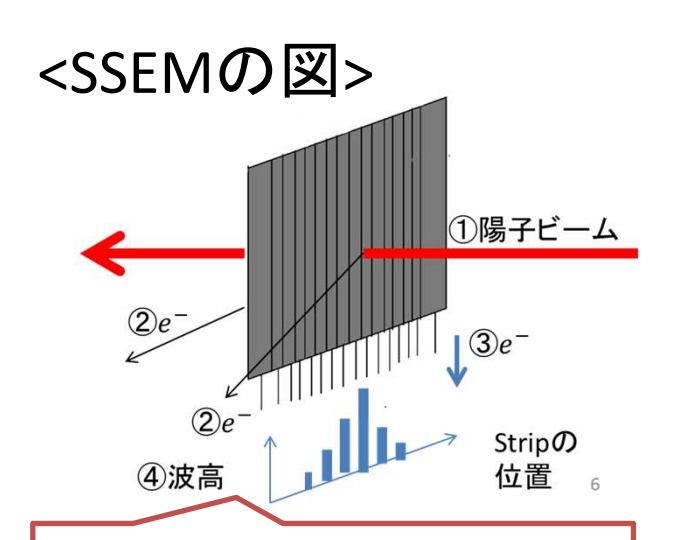
T2K 陽子ビームライン

[ビームモニター]

⇒強度,位置,プロファイル,ビームロスをモニターしている

• ビーム軌道の測定、ターゲット上の位置やサイズの測定

• 陽子ビームの監視

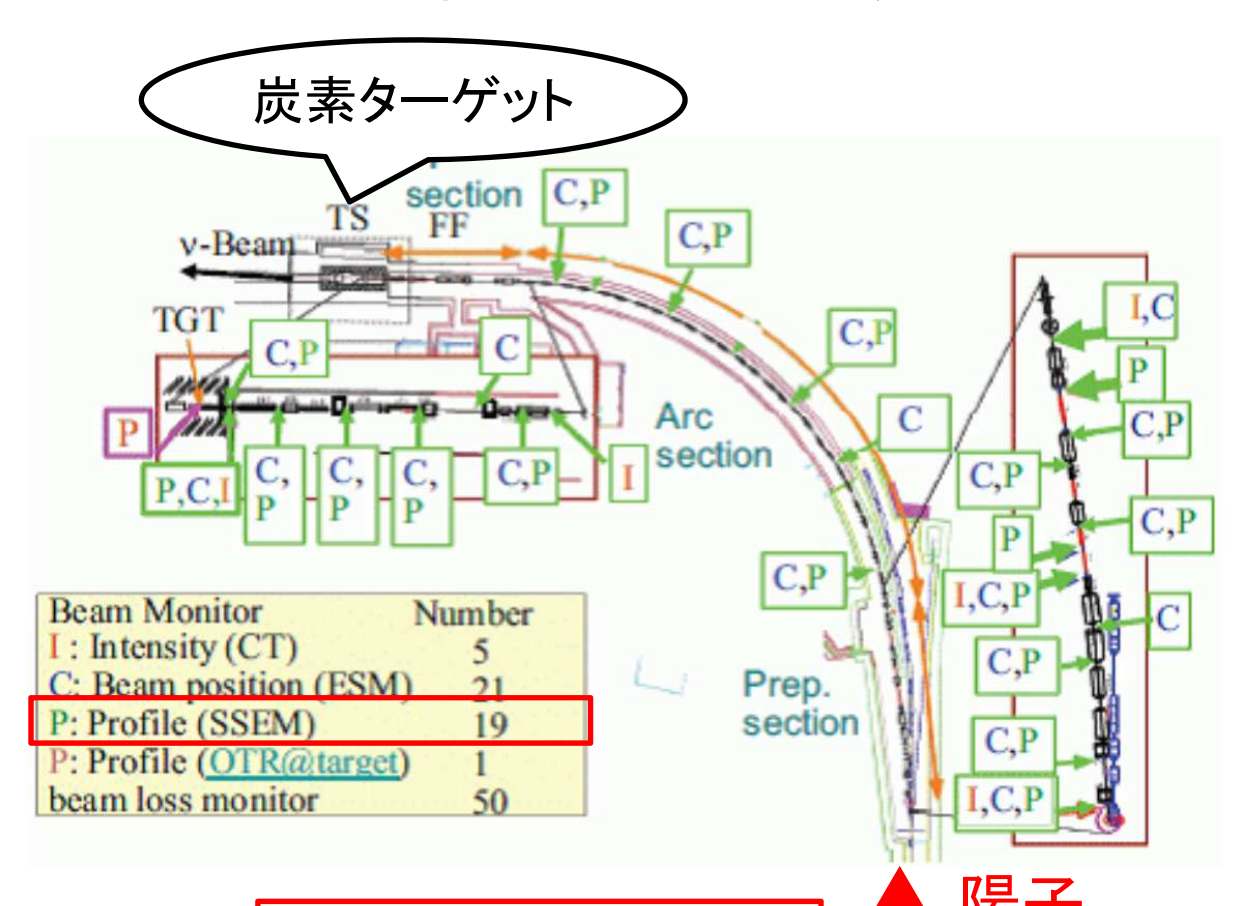


材料:チタンホイル

厚み:5μm

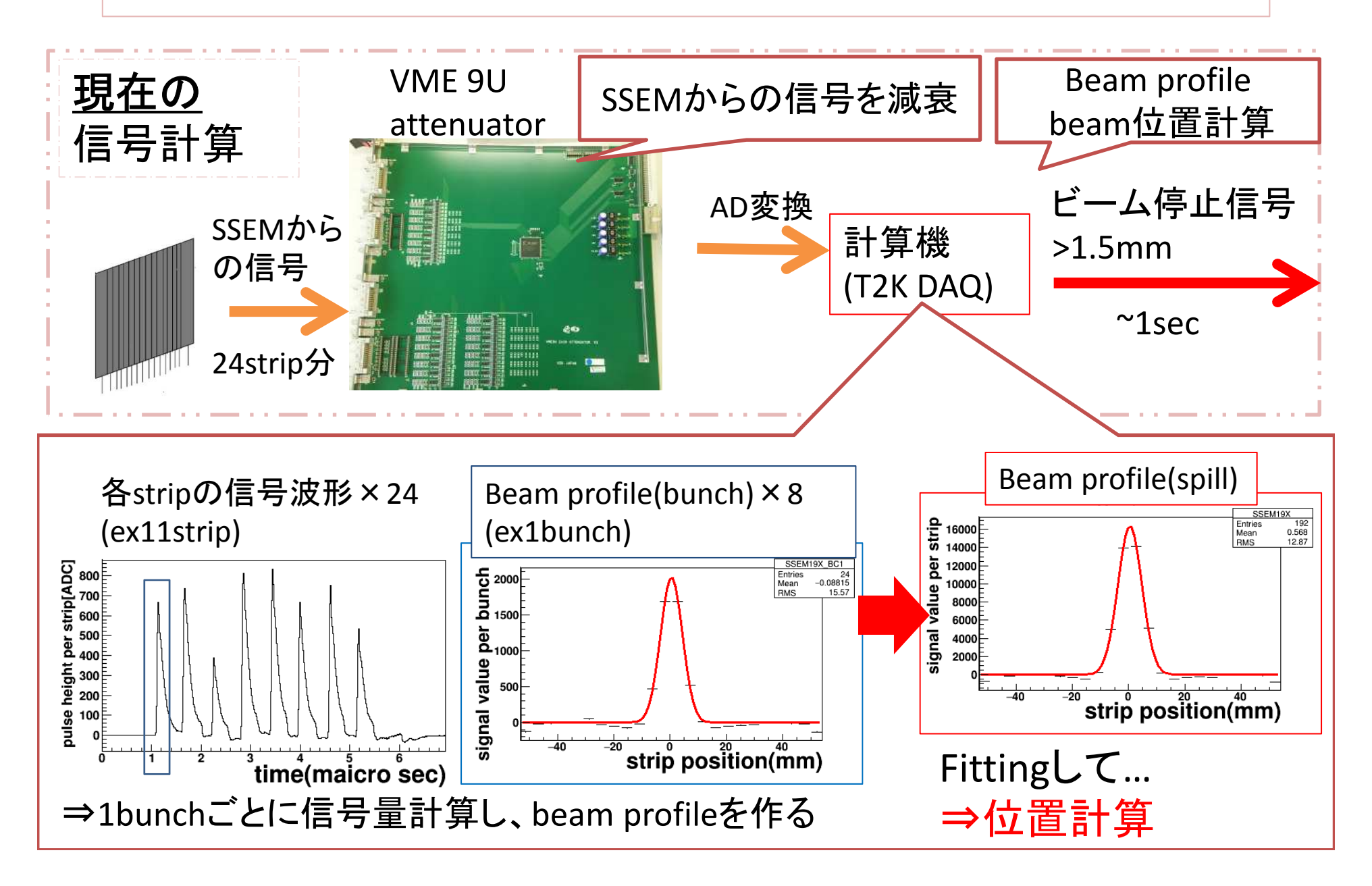
Stripと呼ばれる帯が

24個並んでいる



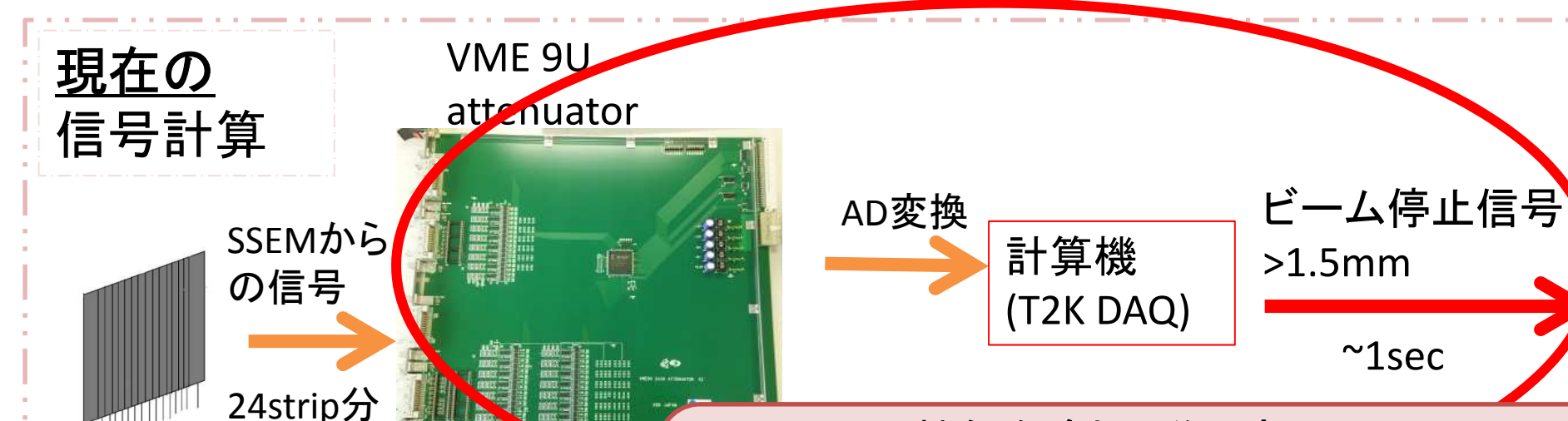
0.47MW→1.3MW!!

開発の動機



~1sec

開発の動機



機能を追加し作り変え,

陽子ビームの位置のずれをリアルタイムで 検知し、ずれていた場合にビームをストップ するモジュールの開発

新しい 信号計算

SSEMから の信号



VME 9U **PAPILLON**



ビーム停止信号

目標~10ms

SSEMからの信号を減衰 +ADCで信号をAD変換する

+FPGA(ICの一種)でbeam位置を計算

目次

- 1. ニュートリノ振動について
- 2. T2K実験について
- 3. PAPILLON BOARDの動作試験報告
- 4. 動作試験をふまえたFirmwareの改良
- 5. まとめ

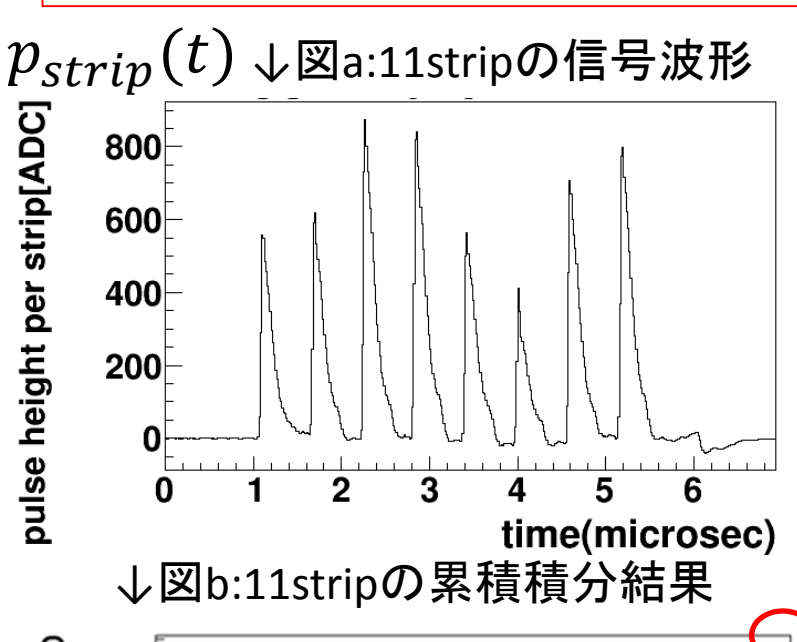
陽子ビーム位置検出回路⇒"PAPILLON"と命名。 →beam Position And ProfILe interLock mOdule for Neutrino experiment



新しいビーム位置計算手法(1)

現在計算機で使われているbeam profileとbeam 位置の計算手法は複雑

→単純かつ高速にbeam profileとbeam位置を計算できないか??

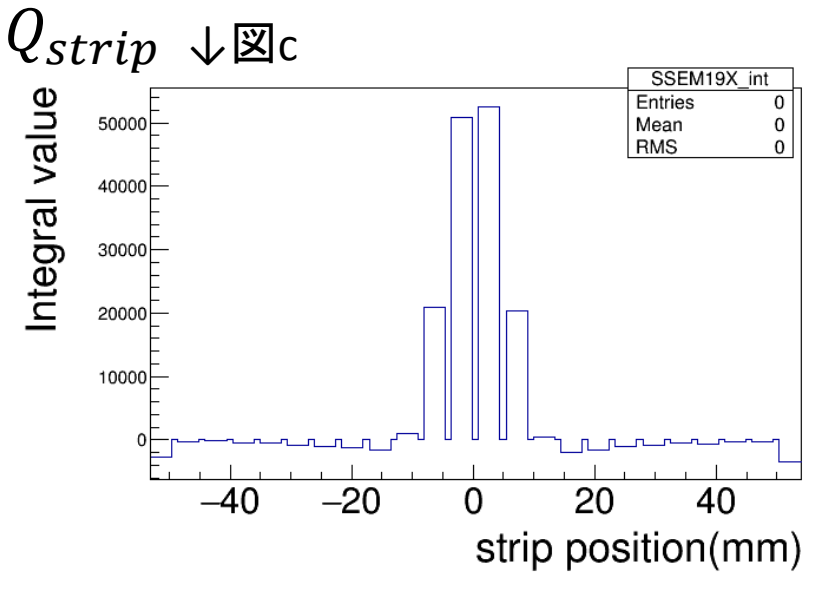


1. ADCから各stripの1spill間の信号 波形($p_{strip}(t)$)を取得する

| SSEMI9Xchilint | SSEMI9Xchilint | Spill間の | 信号量=Q_{strip} | Company | SSEMI9Xchilint | Spill間の | 信号量=Q_{strip} | Time(microsec)

取得した信号波形をspill間で累積 積分する

新しいビーム位置計算手法(2)



3.全24stripの1 spill間の信号量(= Q_{strip})を集め、分布の重心平均を計算し、ビーム位置(X(mm))とする。

$$X(mm) = \frac{\sum_{strip=0}^{23} Q_{strip} \times x_{strip}}{\sum_{strip=0}^{23} Q_{strip}}$$

データを取得してから位置計算が終わるまでの時間を測定した結果、 9.04µsであることが分かった。

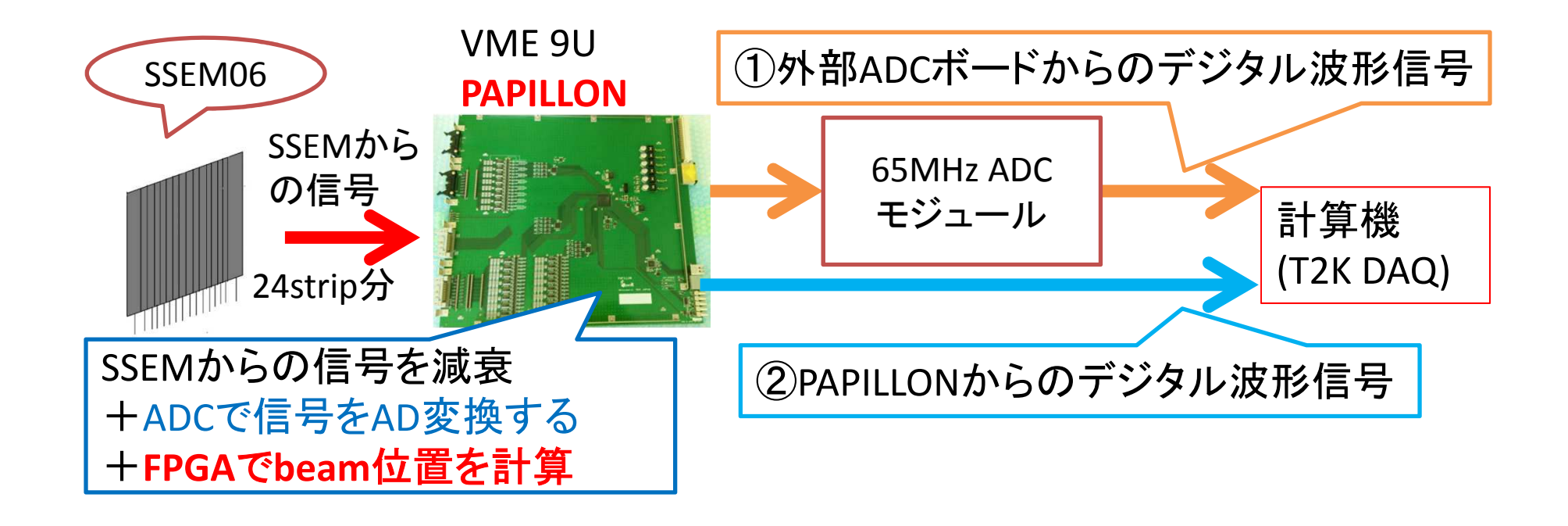
⇒10ms以内でInterlockを出すのが目標だったため、要求を満たしていることを確認

 x_{strip}

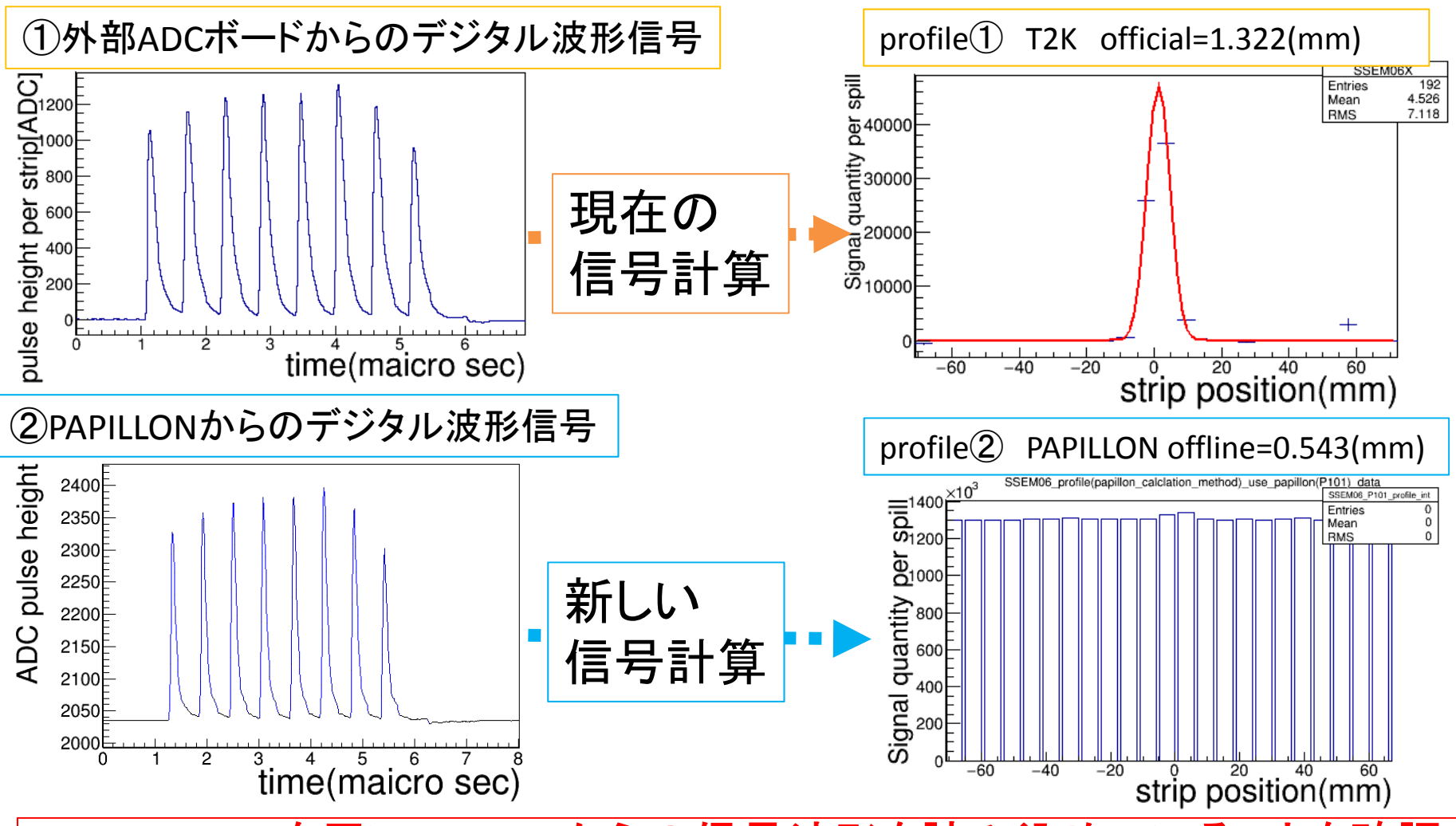
陽子ビームを用いた動作試験(2017/11/20)

目的

- ビームプロファイルモニター(SSEM)からの信号波形を開発したボード(PAPILLON)で読み込むことが出来るか検証する。
- ビーム位置計算手法が信号位置を正しく再現するかを検証する

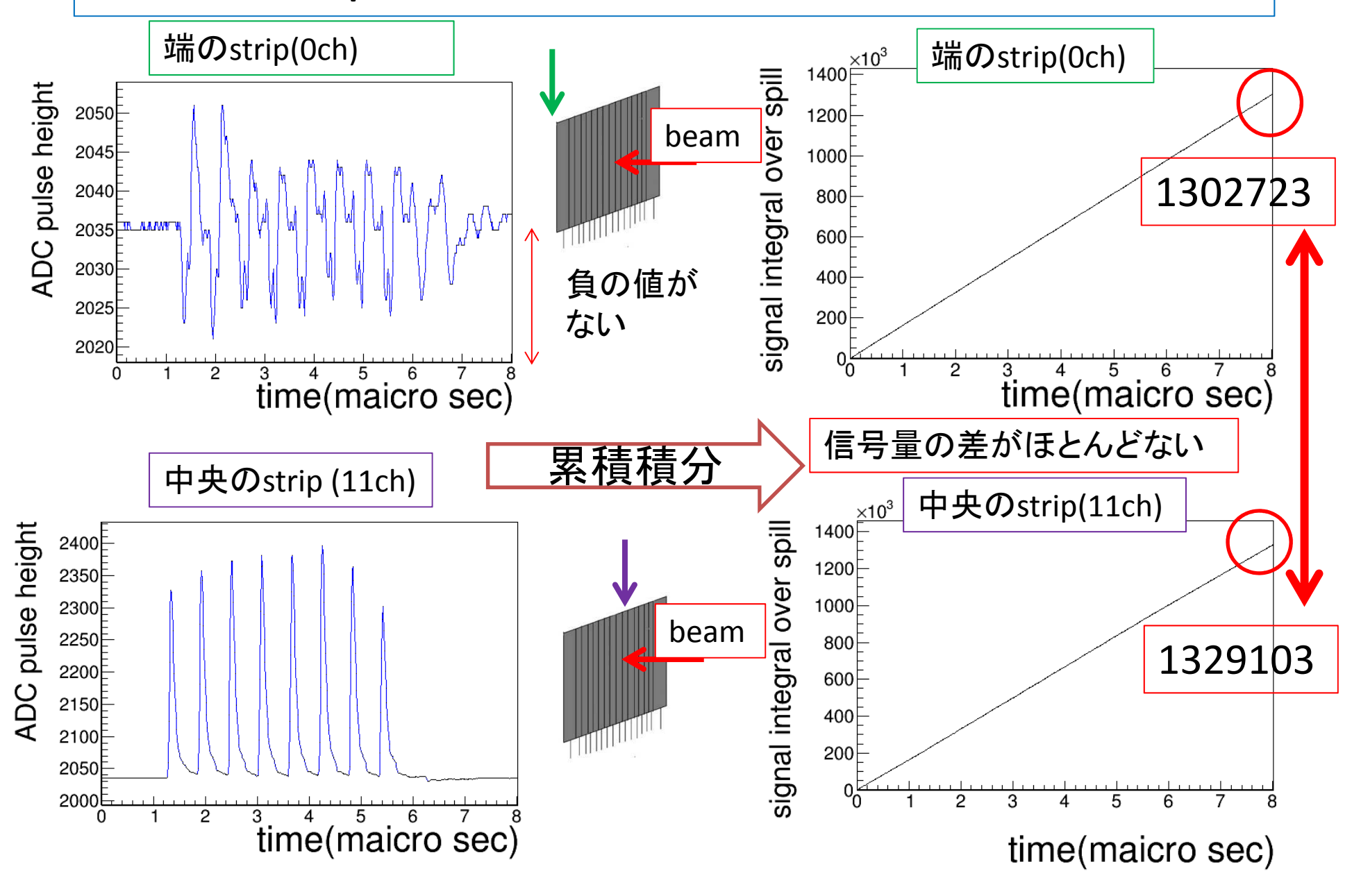


信号波形取得結果



- PAPILLONを用いてSSEMからの信号波形を読み込めていることを確認
- 取得したデータ①②を用いてデータ解析を行った結果、新しい信号計算では、beam profileを再現できていないことが分かった。

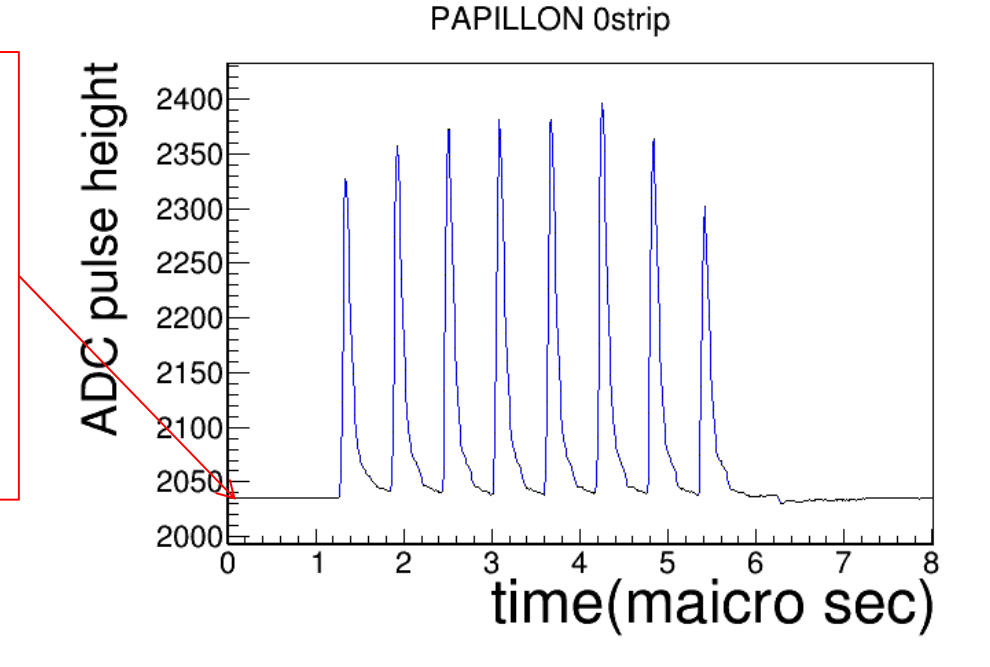
各stripの信号量計算 PAPILLONデータ



ペデスタルの取り扱いについて

Papillonで各stripの1spill間の信号量計算を行なう際に、信号のペデスタル(=信号の基準レベル)を考慮する必要がある。

$$pedestal = \frac{\sum_{i}^{30} P_{i}}{30}$$
 (現在の手法)



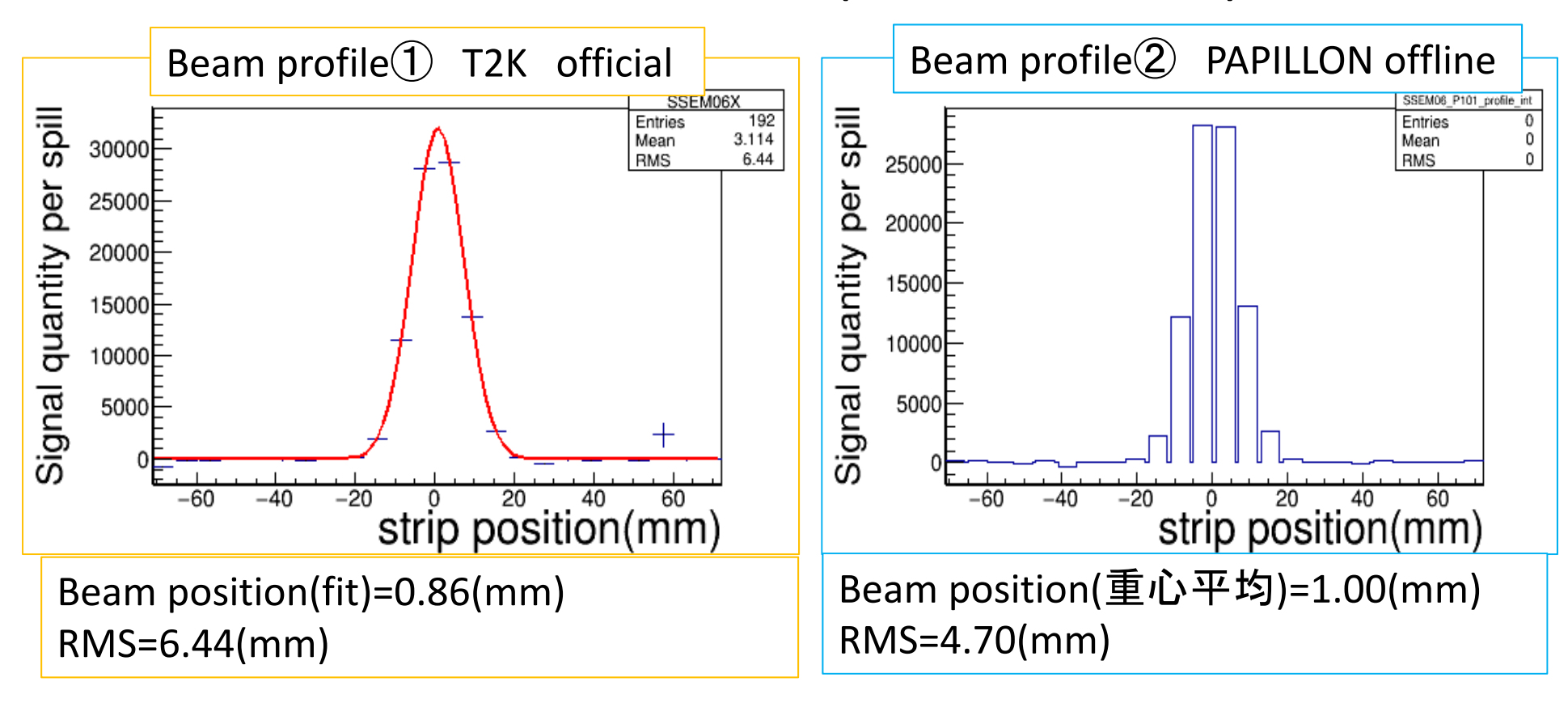
firmwareでペデスタルを計算するのは、困難である。 ⇒最初の信号をペデスタルと仮定し、1spill間の信号量を

$$Q_{strip} \cong \sum_{i=1}^{640} (p_i - pedestal)$$

と計算するfirmwareを開発し、動作試験を行った。

ペデスタルを考慮したfirmwareの検証(1)(2017/12/12)

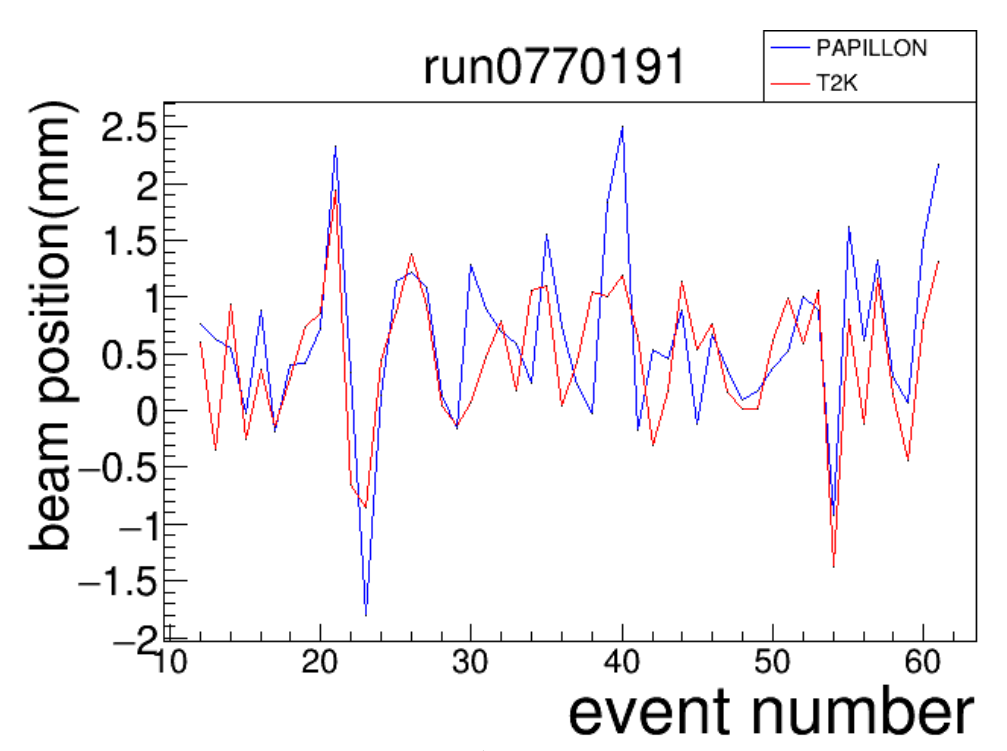
ビーム強度450kW,ビーム位置固定のT2KビームランにPAPILLONをインストールし、 信号波形の取得及びデータ解析を行った。(run番号:run0770191)



⇒ペデスタルを考慮して信号量を計算することで、新しい信号計算で beam profileを再現したことが確認できた。

ペデスタルを考慮したfirmwareの検証(2)(2017/12/12)

イベントに対するビーム位置の変化を確認した。



赤線:現在の信号計算でのビーム位置 青線:PAPILLONで計算したビーム位置

 T2K officialのビーム位置計算結果とPAPILLONのビーム位置計算 結果を比べると...

PAPILLONの計算結果とT2K officialの計算結果の動きに相関がある。(相関係数0.71)

検証で発覚した問題点

ビーム直前に動作確認のため、ダミーの信号を取得する。その信号でも、位置計算が行なわれる。(その場合は陽子ビームは来ない)

 \downarrow

ダミーの信号にも関わらず、Interlock信号 を誤発報してしまった。

 \downarrow

SSEMから来る信号がノイズ波形なのか、陽子ビームの信号波形なのかを区別して、Interlock信号の誤発報を防ぐ必要がある。

イベント 番号	PAPILLON 計算結果 (mm)	Interlock
1	35.96	発報
2	-11.15	発報
3	64.84	発報
4	-137.72	発報
5	9.71	発報
6	13.74	発報
7	82.35	発報
8	28.72	発報
9	20.04	発報

个陽子ビームが来ていない場合 のビーム位置計算結果

目次

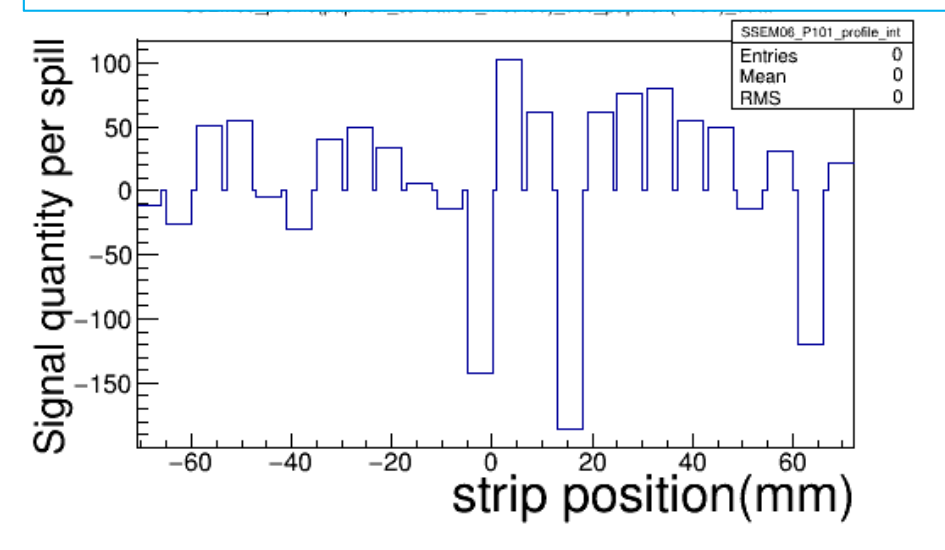
- 1. ニュートリノ振動について
- 2. T2K実験について
- 3. PAPILLON BOARDの動作試験報告
- 4. 動作試験をふまえたFirmwareの改良
- 5. まとめ

陽子ビーム位置検出回路⇒"PAPILLON"と命名。 →beam Position And ProfiLe interLock mOdule for Neutrino experiment

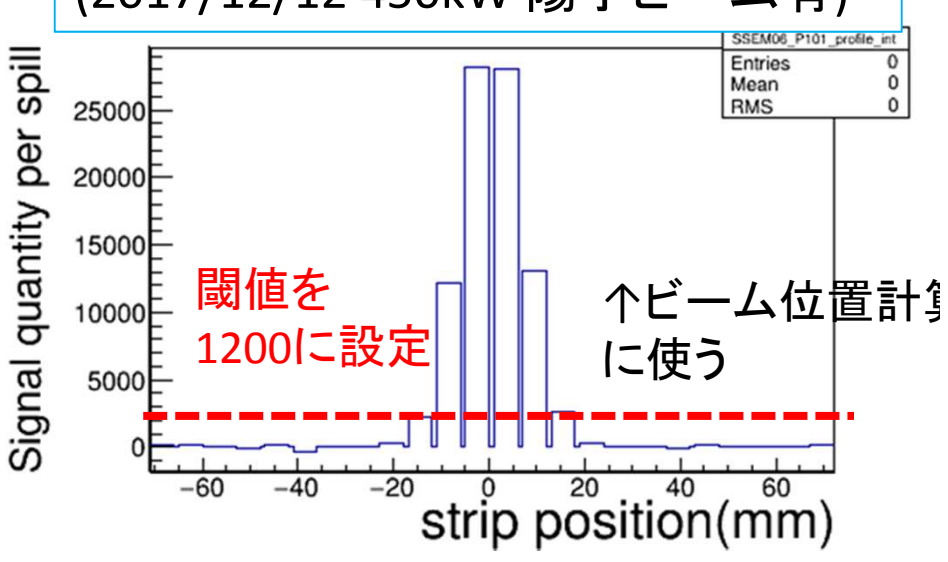


ノイズ波形の取り扱い

Beam profile (2017/12/12 ダミー信号(陽子ビーム無))



Beam profile (2017/12/12 450kW 陽子ビーム有)



Beam position=9.71mm

Beam position=0.42mm

- ダミー信号時は1spill間の信号量が小さい
- 確実にダミー信号を落とせるように閾値を設定し...

→閾値を超えたstripの信号量のみをビーム位置計算に使用するように位置計算firmwareを改良

改良したfirmwareの動作シミュレーション

改良したfirmwareの動作シミュレーションを行った。(2017/12/12の データを使用)

陽子ビームの event番号	T2K実験の offline解析の ビーム位置 (mm)	改良したfirmwareの 動作シミュレーションの 計算結果(閾値有) (mm)	2017/12/12 firmwareのビーム位置 (閾値無) (mm)
5(陽子ビーム無)	解析しない	-1	9.71
20	0.86	0.92	0.42
30	0.07	0.01	-0.16
40	1.20	1.30	1.83
50	0.62	0.68	0.17
60	0.77	0.79	0.07

⇒Interlock信号の誤発報の防止と,現在の計算手法と±0.1mmの範囲で一致したことを確認した。

目次

- 1. ニュートリノ振動について
- 2. T2K実験について
- 3. PAPILLON BOARDの動作試験報告
- 4. 動作試験をふまえたFirmwareの改良
- 5. まとめ

陽子ビーム位置検出回路⇒"PAPILLON"と命名。 →beam Position And ProfiLe interLock mOdule for Neutrino experiment



まとめ

- ニュートリノでのCP対称性の破れの検証のため、T2K実験では、 ニュートリノビームの高繰り返し化を計画している。
- 陽子ビームの位置をリアルタイムで検知し、位置がずれていた場合はInterlock信号を発報できるモジュール(PAPILLON)及び firmwareの開発を行った。
- 動作試験を行い、モジュールに要求される機能の検証を行った。
 - 位置計算の処理速度は十分に要求を満たしていることが分かった。
 - 位置計算手法については、信号のペデスタルの問題と、ノイズ波形の取り扱いの問題が発覚したため、firmwareの改良を行った。
- 要求される機能を満たしていることが確認できたため、

2018年3月9日からのT2KビームランにPAPILLONボードを インストールする予定である。

BACK UP

開発スケジュール

		offline解析		回路開発		firmware開発	動作試験
2015	Sep						
	Oct				**************************************		
	Nov						
	Dec						
	Jan		Heckelonessessessessessessesses				
	Feb		aturan mananan		L		to a second to
	Mar	1つの陽子ビームランを			CONTRACTOR		1000000 Location (1000000000000000000000000000000000000
2016	Apr	用いた解析					
	May		回路図製作 (ver.1)				
	Jun				•		
	Jul			ボードレイアウト製作			
	Aug			(ver.1)	t in the second		
	Sep						
	Oct		プロトグ	タイプ(ver.1)製作	じ 11年三年		
	Nov	複数の陽子ビームランを			ビーム位置計算		` *\$\/ \ r=+F\
	Dec	用いた解析			firmware開発		ボード動作試験
	Jan		2F1000000000000000000000000000000000000				(ver.1)
2017	Feb						実ビーム試験(1)
	Mar		T-000000000000000000000000000000000000				
	Apr		回路図製作 (ver.2)				
	May			ボードレイアウト製作 (ver.2)		実ビーム試験(1)のデータを用いた	
	Jun	412000000000000000000000000000000000000			334333333333333333333333333333333333333	firmwareのデバック	***************************************
	Jul					IIIIIwai 607) 7 177	
	Aug		プロトタ	タイプ(ver.2)製作	ver.2に向けた		
	Sep				fimrwareの改良		ボード動作試験
	Oct		Mococco		TIIIII Wale O入以及		(ver.2)
	Nov					実ビーム試験(2)のデータを用いた	実ビーム試験(2)
	Dec					firmwareのデバック	大口 五武教(2)

CP対称性の破れ

Quark

- CKM matrix(Cabibbo-Kobayashi-Masukawa)によって, CP対 称性の破れを観測
- 宇宙でのバリオンの非対称性

Lepton

PMNS matrix(Pontecro-Maki-Nakagawa-Sakata)でCP対称性の破れが分かるのでは??

 \downarrow

ニュートリノ振動測定でleptonでのCP violationを探ろう!

CP対称性の破れ

- C (charge conjugation transformation:荷電共役変換)
 - 粒子を反粒子へ反転する
- P (parity conjugation transformation:荷電共役変換)
 - 空間反転を行う

上記の変換を同時に行うことをCP変換といい、CP変換を行い物理的に変化するとき、対称性が破れているという。

CP対称性の破れを探索することで、現在の宇宙における物質と反物質の非対称性を説明することができると期待されている。

=ニュートリノ振動と反ニュートリノ振動の振動確率の差を探している。

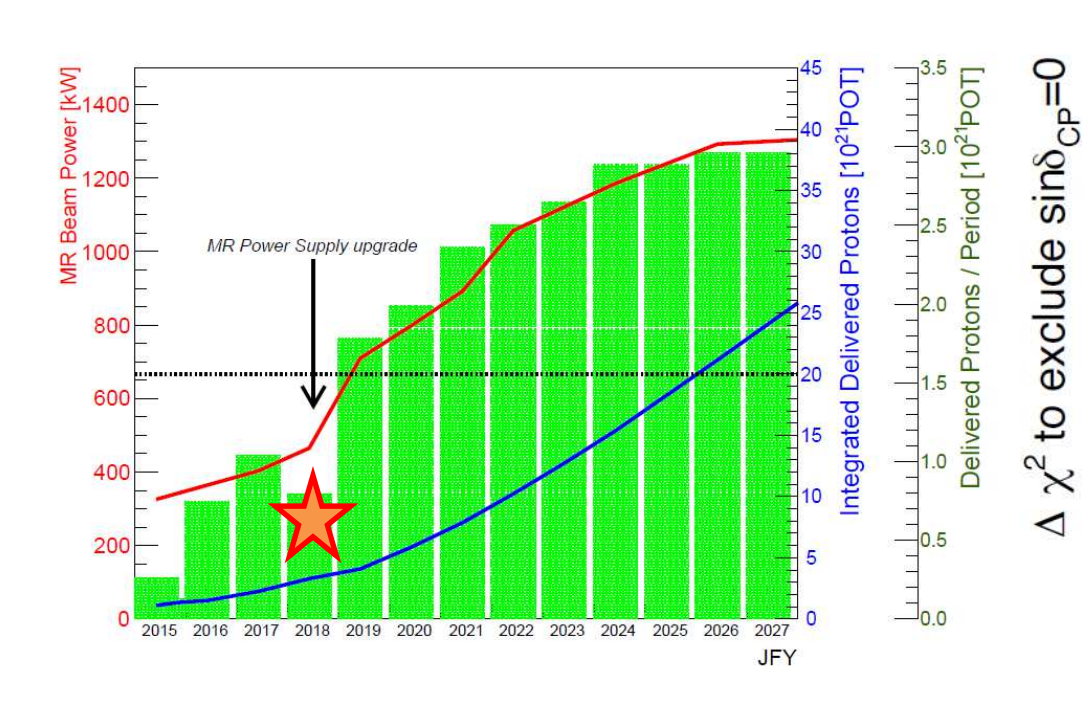
T2K実験のビーム増強

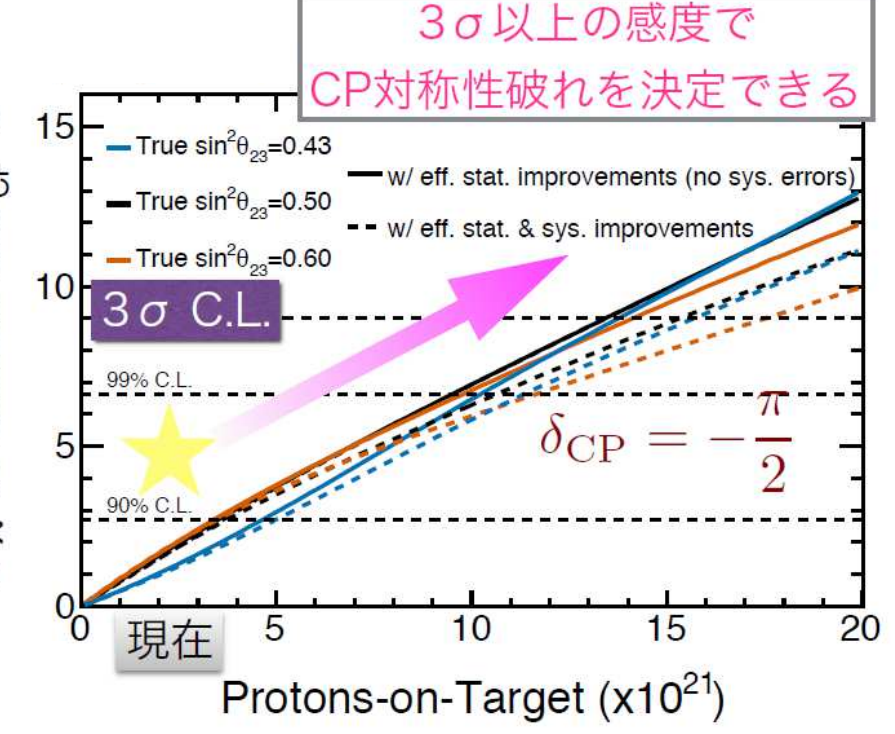
	現在	目標
Beam power[MW}	0.42 (0.47)	1.3
# of proton per pulse	2.2×10^{14} (2.4×10^{14})	3.2×10^{14}
Rep.Time[sec]	2.48	1.16

Beam power

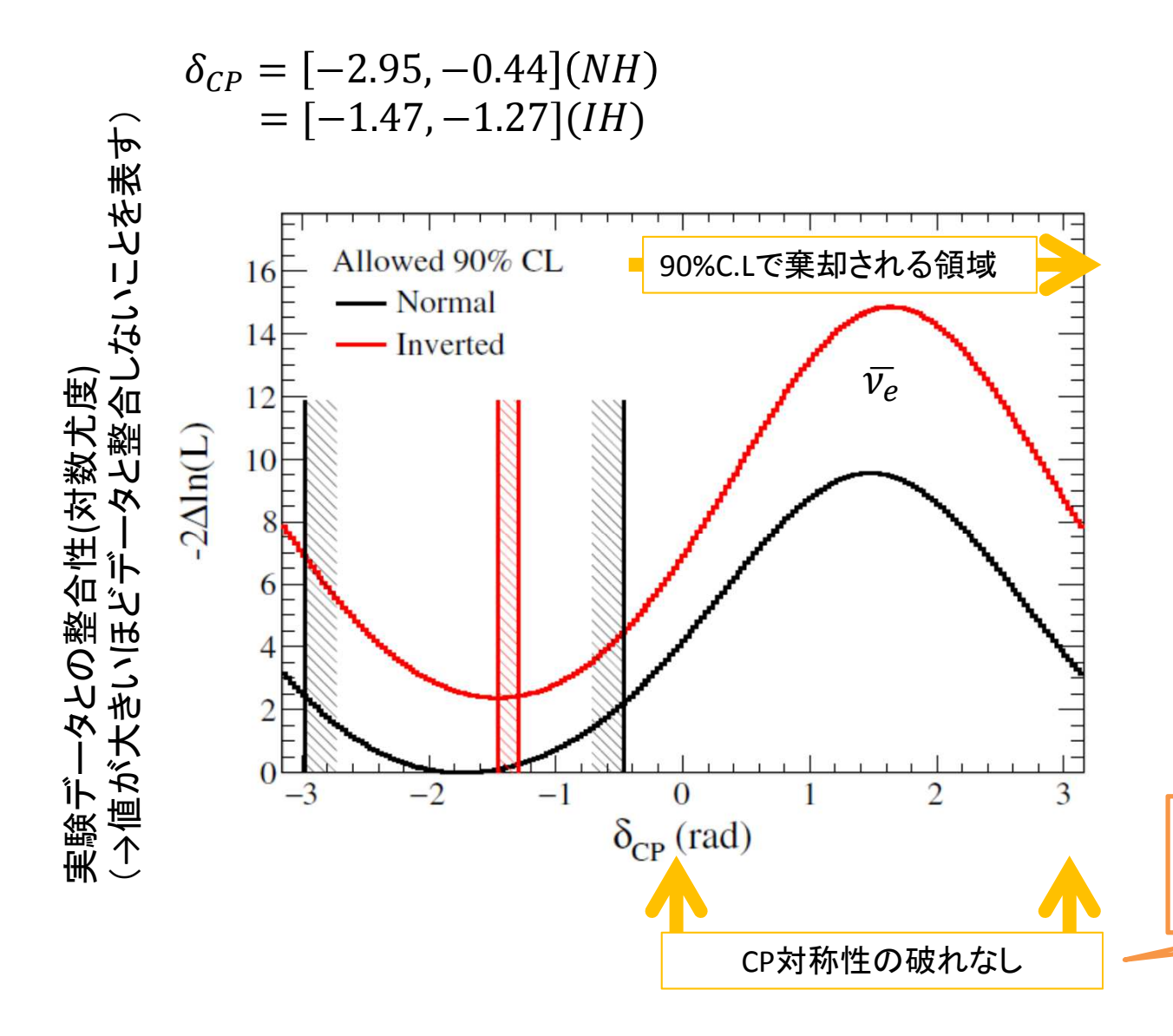
∞# of proton per pulse*1/Rep.Time

Rep.time=
$$\frac{2.48}{1.16}$$
 ~ 2.14
Ppp= $\frac{3.2}{2.2}$ ~ 1.45
Beam power= $\frac{1.3}{0.42}$ ~ 3.1



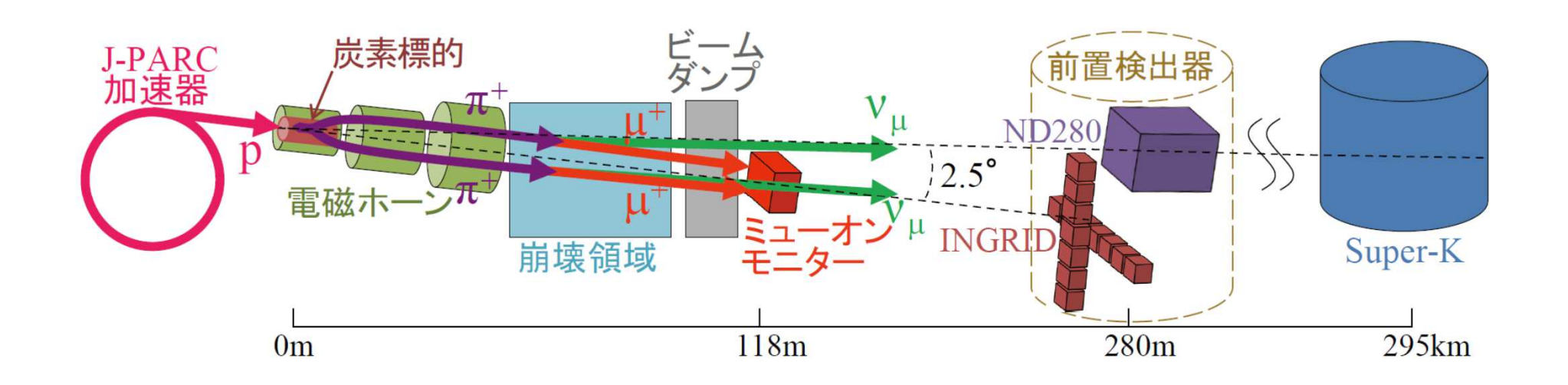


T2K実験の最新結果



順階層でCP保存を2σで 排除

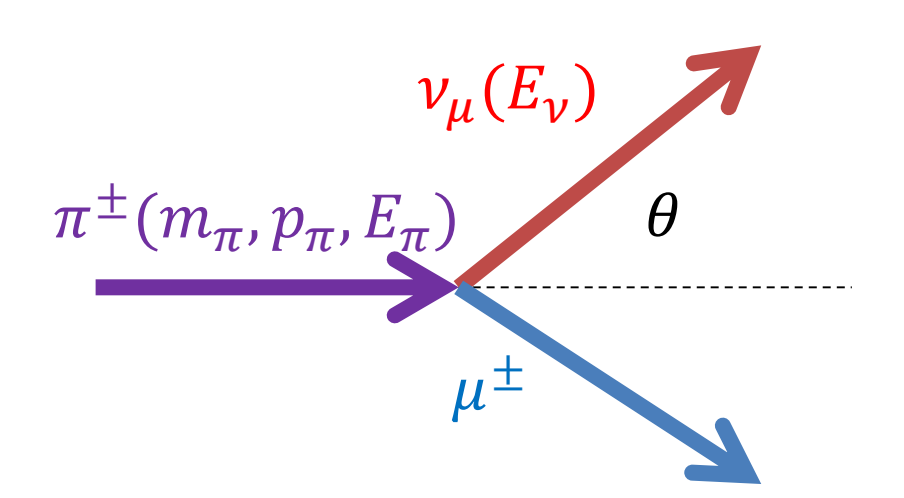
T2K実験のニュートリノ検出器

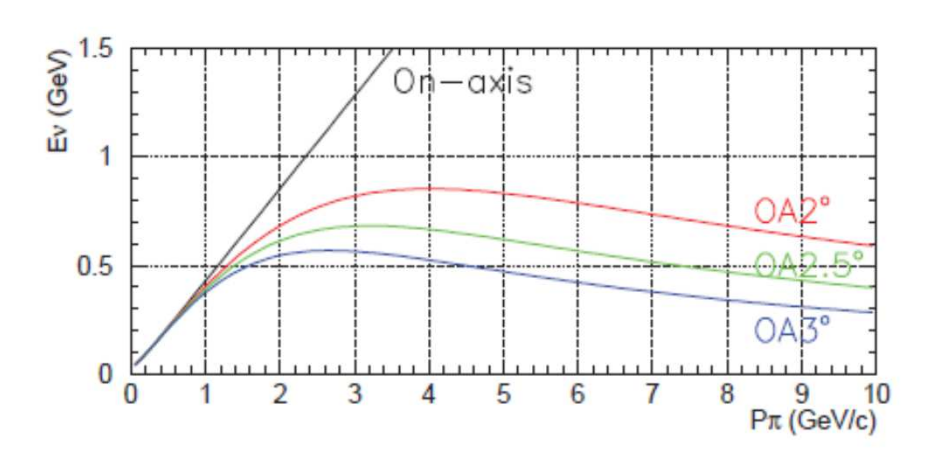


- 1.J-PARCの加速器で陽子ビームを生成
- 2.陽子ビームを炭素標的に当てて、ニュートリノビームを生成
- 3.ND280,INGRIDで振動前のニュートリノビームを観測
- 4.SKで振動後のニュートリノビームを観測
- 5.3と4の結果を比べて、ニュートリノ振動を計測

T2K beam line Off axis beam について

相対論的運動方程式を解くと





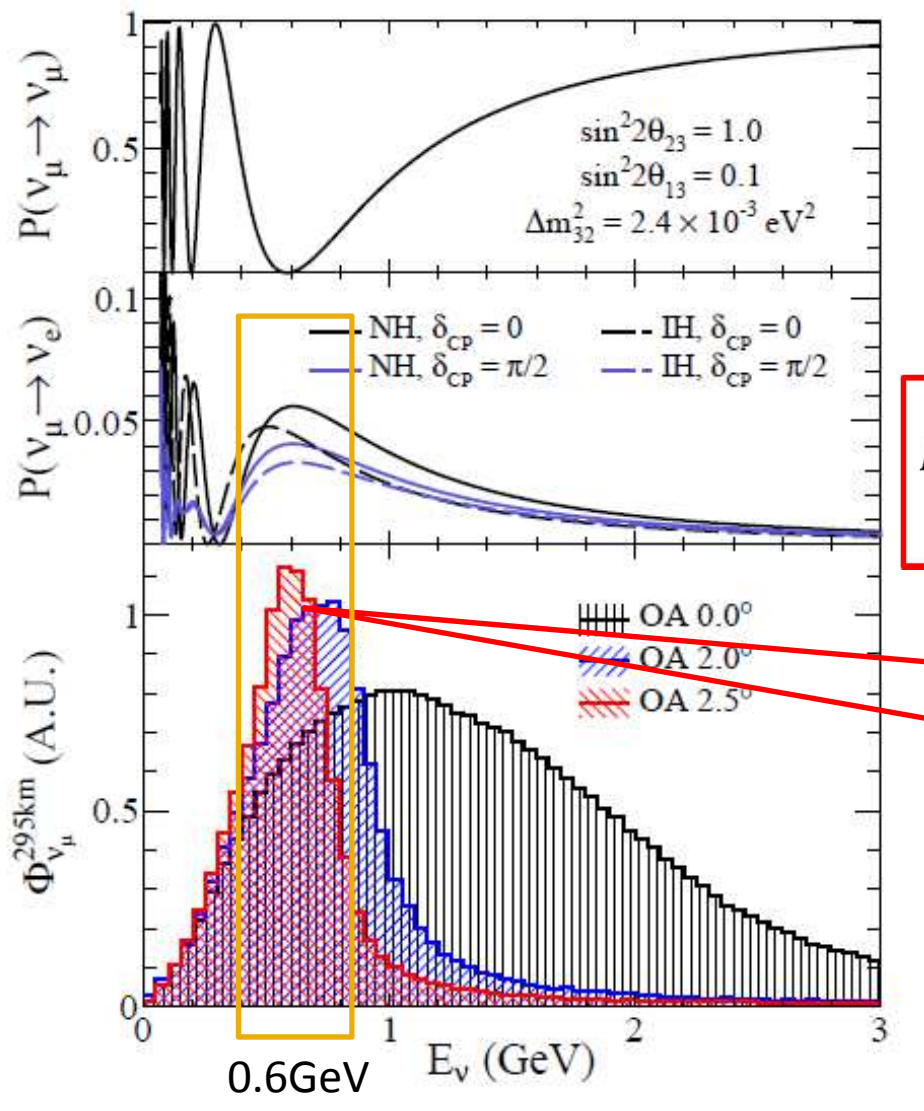
$$E_{\nu} = \frac{m_{\pi}^2 - m_{\mu}^2}{2(E_{\pi} - p_{\pi} cos\theta)}$$

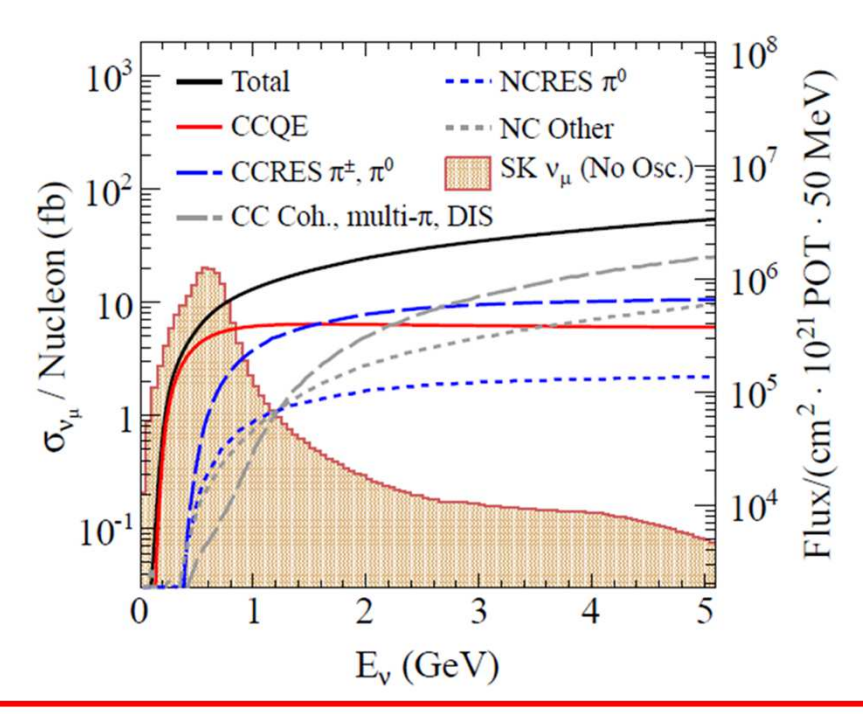
⇒ニュートリノビームの角度θが決まれば、 エネルギーを決めることが出来る。

 $\theta = 0^{\circ} p_{\pi}$ の依存大きい $\theta = 2.5^{\circ} p_{\pi}$ の依存が小さい

=>親粒子の運動量が広い範囲に分布していたとしても、親粒子の収束軸からずれた方向においては狭いエネルギーに集中したエネルギーを得ることができる

T2K beam line Off axis beam について



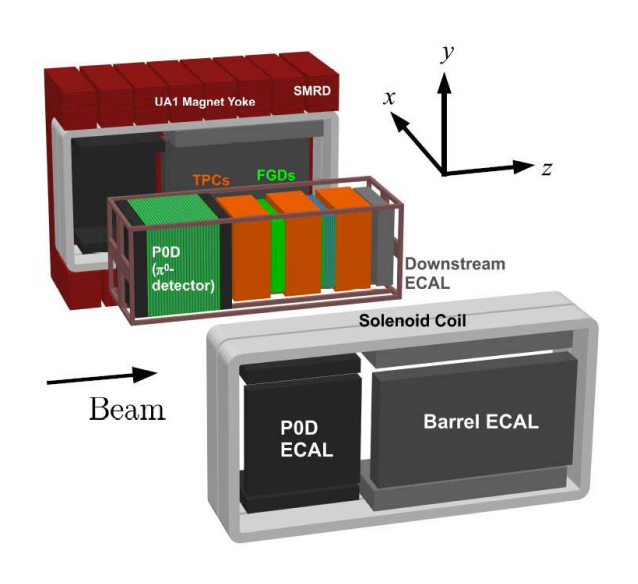


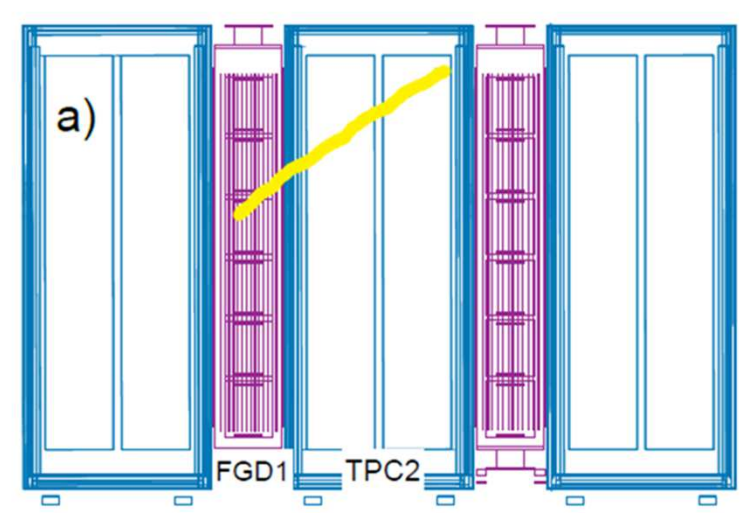
$$P(\nu_{\mu} \rightarrow \nu_{e}) \cong \sin^{2}\theta_{23} \sin^{2}2\theta_{13} \sin^{2}\frac{\Delta m_{32}^{2} L}{4E_{\nu}}$$

ビーム中心から2.5° ずら すことで、ナローバンドな ビームを実現できる

より効率的にニュートリノ振動が測定できる。

T2K beam line 前置検出器 ND280





ND280 (Off axis)

UA1 Magnet 本中心

飛跡を曲げる

TPC(Time Projection Chamber)

飛跡から運動量を測定

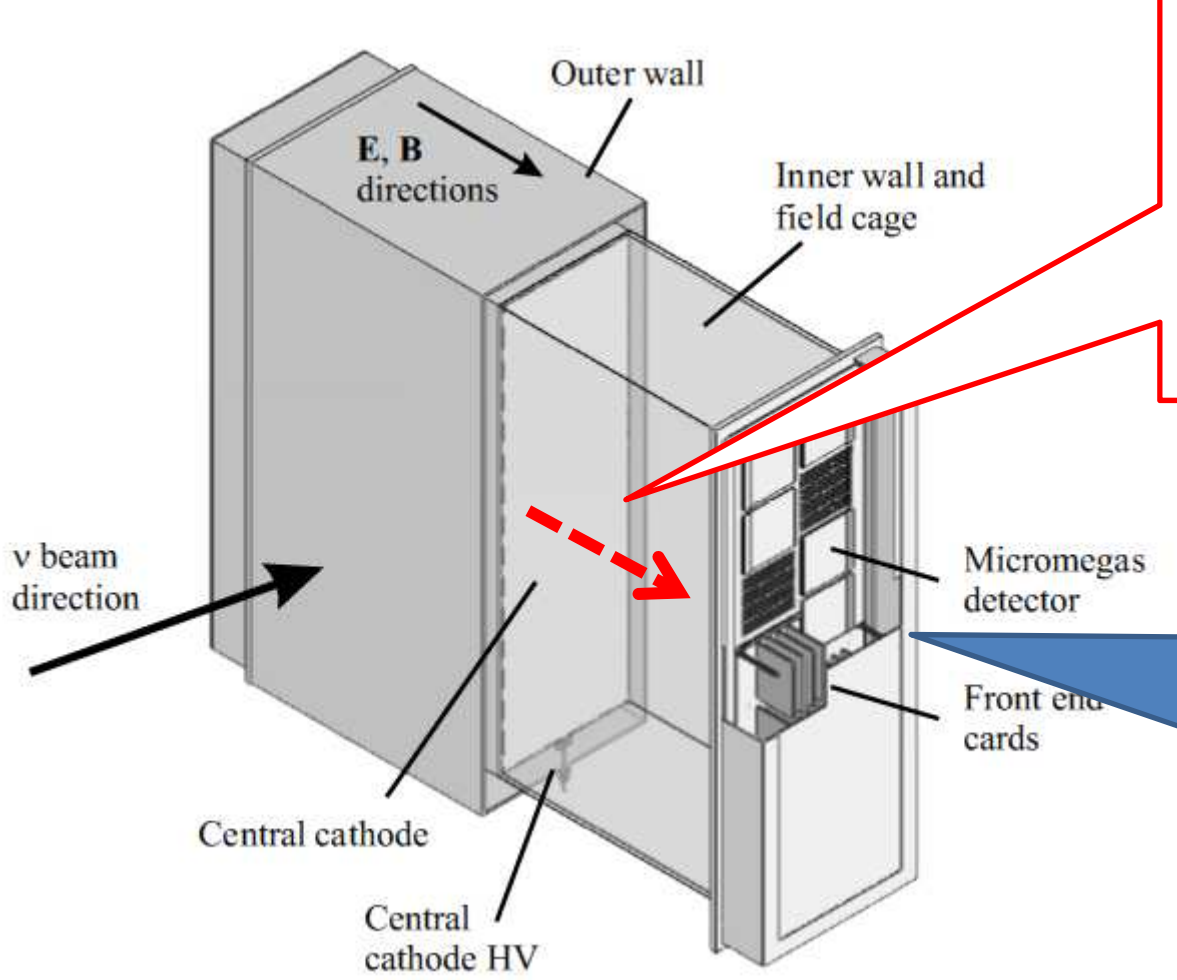
FGD(Fine Grained Detector)

反応点付近の粒子の検出

→SKと比べるため flux,エネルギースペクトル,反応 断面積の確認

ニュートリノ振動解析ND280

TPC

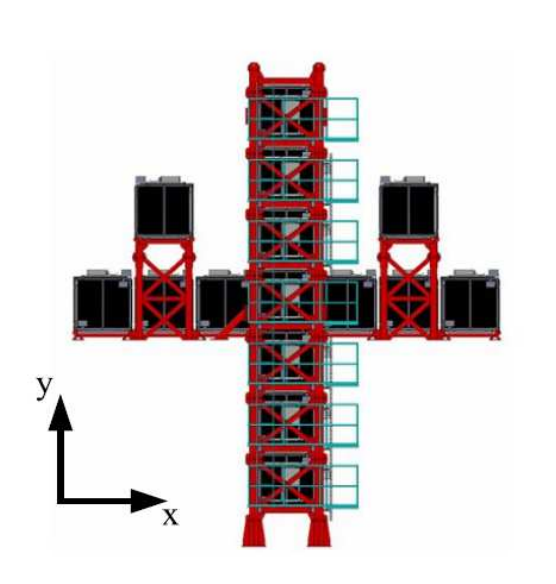


荷電粒子がガス中を通過すると、電離電子を生成。 電離電子の到達時間を測定することで、垂直方向の 飛跡を検出

信号読み取り面に電離 電子が到達することで 平面方向の飛跡を検出

Inner box Ar gas Outer box CO_2 が充填されている。

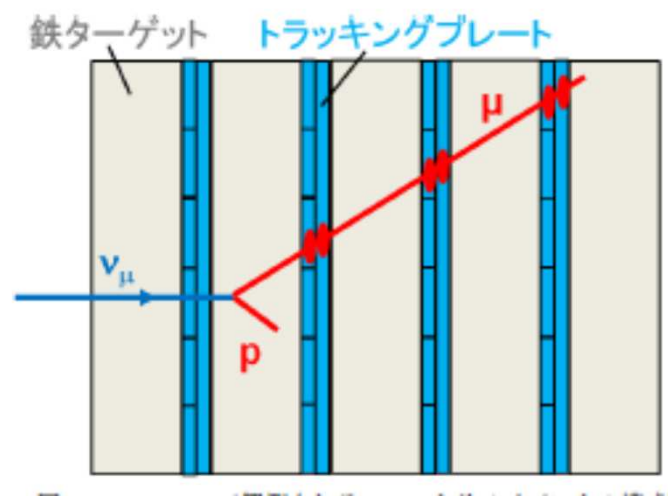
T2K beam line 前置検出器 INGRID



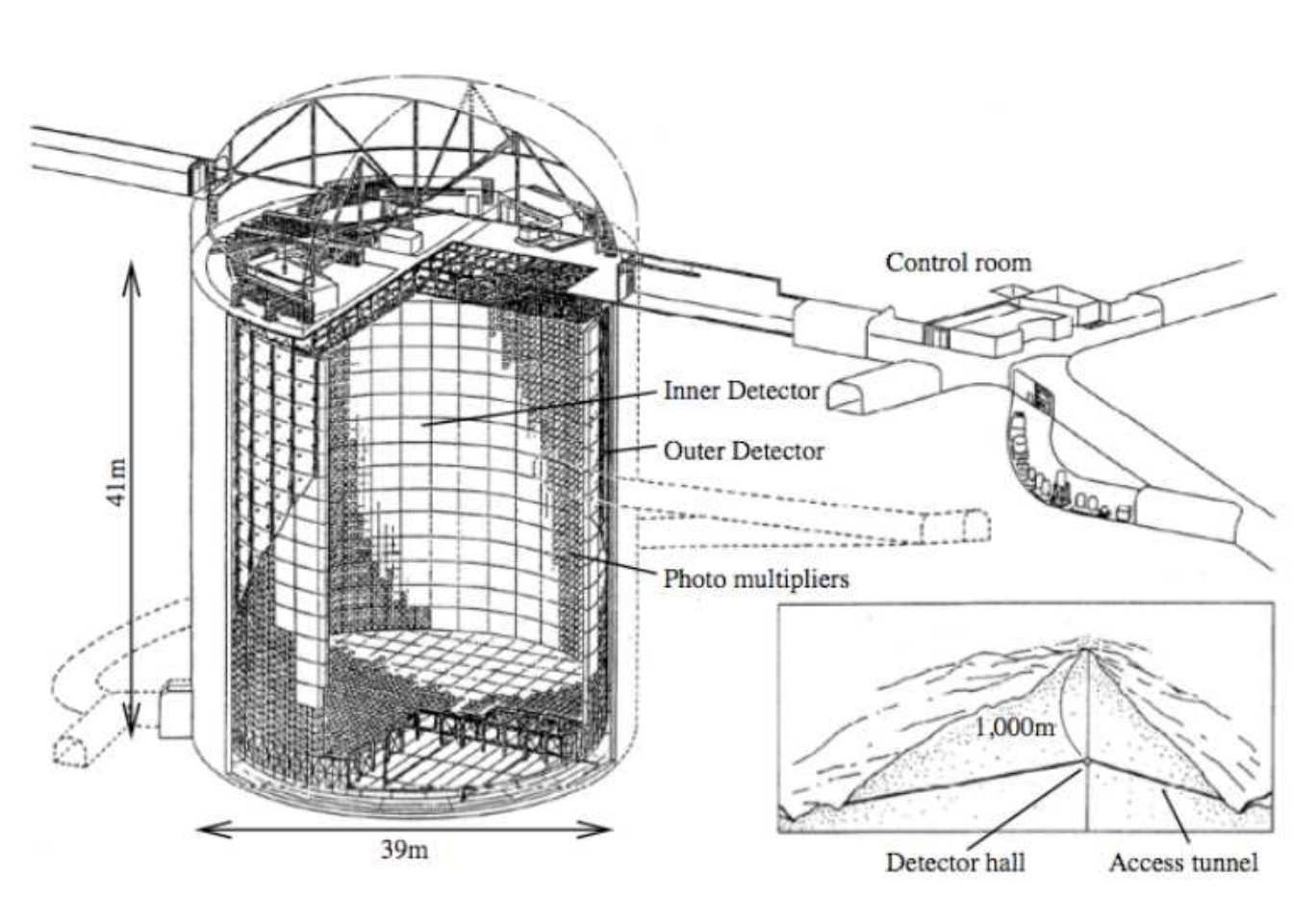
INGRID

(On axis Interactive Neutrino GRID)

鉄9層(ニュートリノを反応させる) +シンチレーター11層(ビームの場所の特定) のサンドイッチ構造 →ビームの方向, 中心等を測定

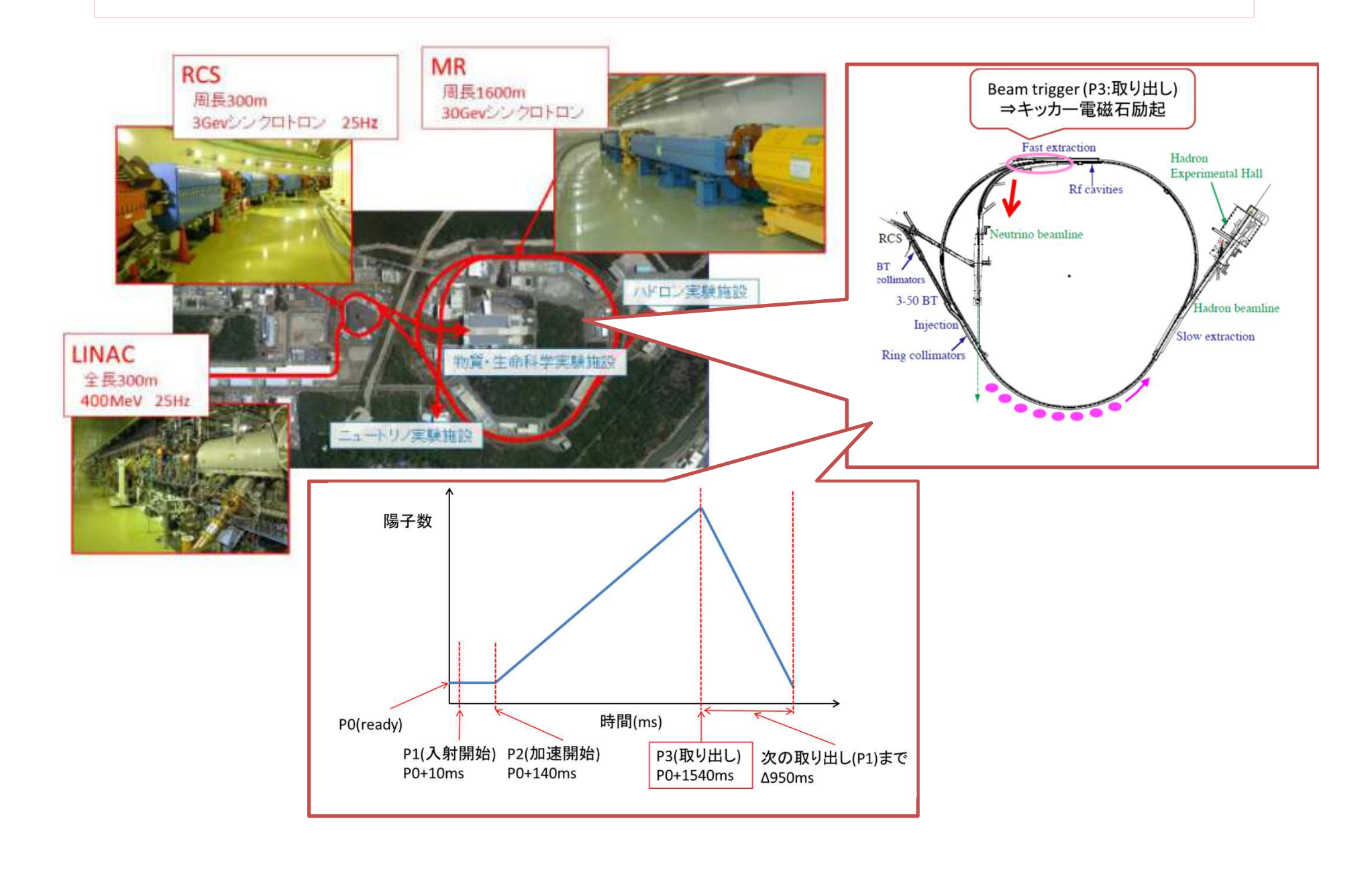


T2K beam line 後置検出器 SK(Super-Kamiokande)



- 50ktの水チェレンコフ 検出器
- Inner Detector(ID)+Outer Detector(OD)からな る。
- 有効質量Fiducial Volume(FV)は円柱状 で質量22.5kt
- ニュートリノ相互作用 による荷電粒子から のチェレンコフ光を PMTで検出

J-PARCの構造



回路の構造 ~基板の構造~

VME FADC SSEM FPGA からの 信号 24 strip 分 attenuator

ボード電源はVMEから供給される (ver.2からは、イベントトリガー&イ ベントタグ番号を取得)

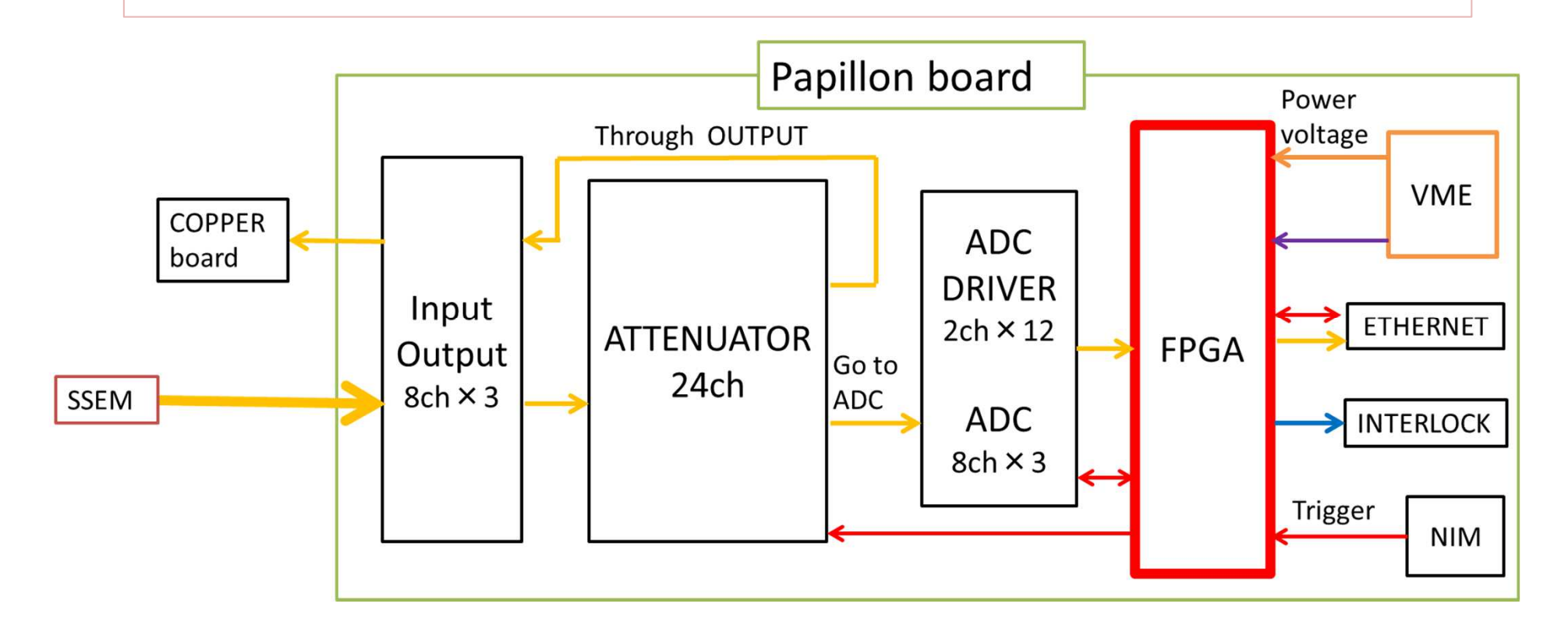
- ボードサイズは KEK VME 9U
- "PAPILLON"と命名。
 →beam Position And ProfiLe interLock mOdule for Neutrino experiment

Ethernet: 計算機とのデータ通信及びボードの制御

Interlock: ビーム停止信号発報 NIM(IN,4 OUT,1):トリガー信号

配線をVMEラックから出すため、VMEの隙間10cmに固めてある

回路の構造 ~基板の構造~



FPGAとは

FPGA(Field Programmable Gate Array)の略で, PLD(Programmable Logic Device)の一種。

デジタル回路を簡単に集積化できるのが特徴。

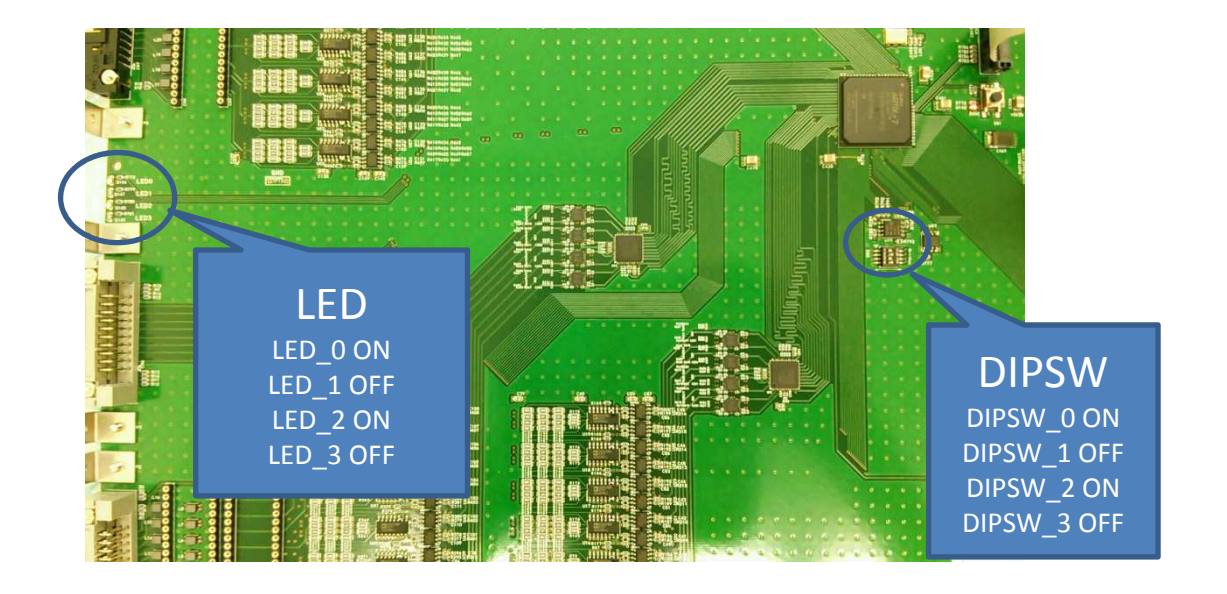
- □集積回路
 - □デジタル回路のみ実装可能
 - □ 2×2cm程度の大きさ
- □ユーザーが回路情報を書き込んで使用する
 - ロソフトウェアのように使用できる
- □ デジタル信号処理に使われる

firmware

- 電子機器に組み込まれたハードウェアを制御するためのソフトウェアで、集積回路(IC)に書き込んで、機器に組み込む。
- 電子機器本体に所望の動作をさせる。

HDL(hardware description language)

- 集積回路を設計するためのコンピュータ言語
- 回路の設計,構成を言語で記述する
- 処理を検証するシミュレーションができる。



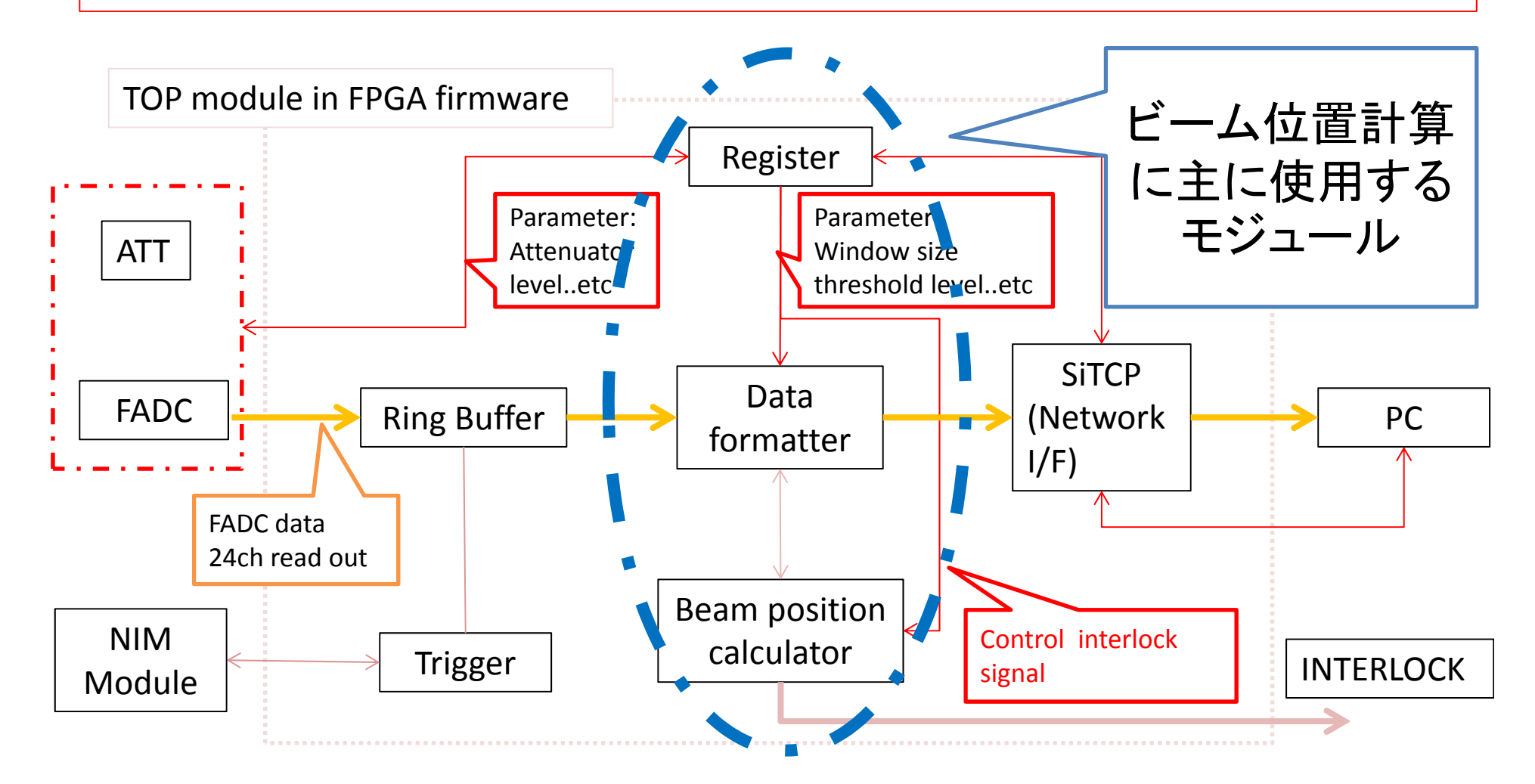
```
module LEDtest(
output LED 0,
output LED 1,
output LED 2,
output LED_3,
input DIPSW0,
input DIPSW1,
input DIPSW2,
input DIPSW3
assign LED 0 = DIPSW0;
assign LED_1 = DIPSW1;
assign LED 2 = DIPSW2;
assign LED 3 = DIPSW3;
endmodule
                     42
```

FPGAに必要な機能

- 各ビーム取出し毎に
 - モニターの信号波形をFPGAに読み込み(FADC dataの書き込み)
 - そのデータを使ってビーム位置と幅を計算(計算法はいく つか考える)
 - 位置と幅それぞれに対して、閾値(現在>1.5mm)と比較して で閾値を超えていたらインターロック信号を出す
- レジスタ操作で閾値を決定
- レジスタ操作で強制的にインターロック信号を出せるように
- レジスタ操作でインターロック信号をクリアする
- Attenuatorの伝達係数の選択

firmwareの構造

- 1. ビーム位置計算
- 2. ネットワーク通信を用いての信号波形,位置計算,インターロック状態の読み出し
- 3. PCを用いてのボード制御



Data formatterについて

1.ADCデータ書き出し 2データ格納 12bit*24ch =288bit

8bit*36

3.データ読み出し 12bit*24ch*2

ADC CHO ADC CH1 ADC CH22

ADC CH23

ADC CH0 8bit 0000 **ADC CHO** 4bit

ADC CH0 8bit

0000 ADC CH1 4bit

ADC CH1 8bit

ROMの例

dout

[0]

[1]

[2]

[3]

din

[0]

[1]

2bitで4つのアドレス =6bitで64個のアドレス 不必要なアドレスが存在 する

ROM2で格納したデータを呼び、CHO から順にPCに書き出す

呼び出すデータ数が2の累乗でない ため、データの呼び出しを工夫する 必要がある。

16bit

8bit

23bit

31bit

Header

0bit

Data

Address	Contents	defaults
0x00~0x03	FPGA project Oversion (4byte)	Projectを更新した日付
0x05	Processing mode number:特に使用しない(2bit)	1
0x06~0x07	Window size:1 eventのサンプル数	640(ADC CLOCK 80MHZの場合)
0x08	Delay:データディレイ数	0
0x0A~0x0C	Packet header ID(3byte)	012345
0x0D	Thinning ADC Data:データの間引き間隔(1byte)	1
0x10	ADC select:ADCのチップ選択(1byte)	0(ADC1)
0x1□	ADC register:ADCのレジスタ	
0x20~0x37	Attenuator level:可変アッテネータレベル 2bit×24ch	0(1/1)
0x38~0x39	Threshold level:ビーム位置の閾値(2byte)	1.5mm(0x96)
0x3A~0x3B	Offset:ビーム位置のオフセット(2byte)	0.0mm(0x0)
0x3C	Interlock:interlockのリセット・強制発報(2bit)	0
0x40~0x6F	Strip position:SSEMのstripの位置(2byte×24ch)	

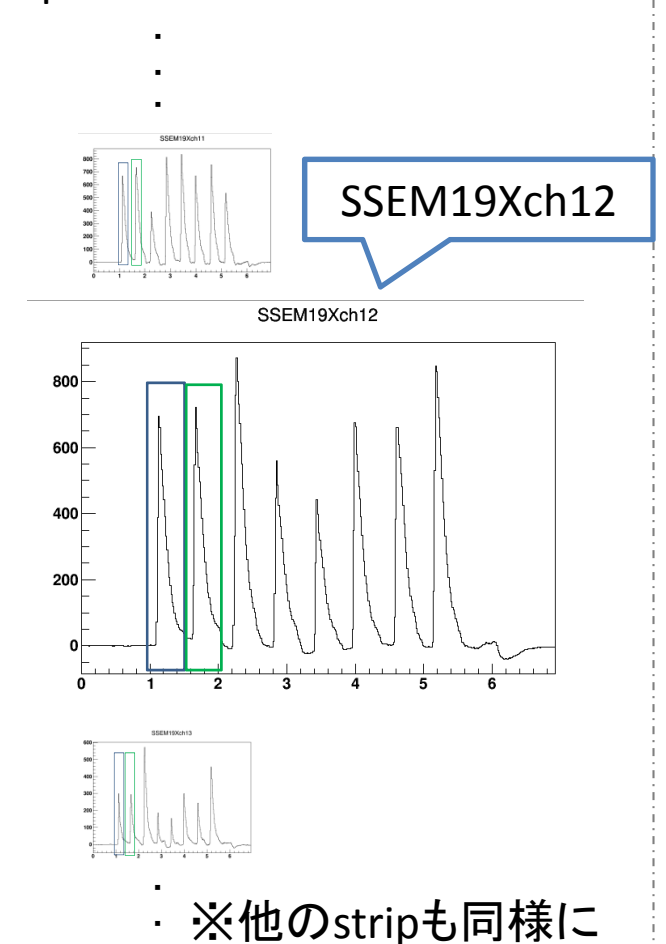
Address	Contents	defaults
0x00~0x03	FPGA project Oversion (4byte)	Projectを更新した日付
0x05	Processing mode number:特に使用しない(2bit)	1
0x06~0x07	Window size:1 eventのサンプル数	640(ADC CLOCK 80MHZの場合)
0x08	Delay:データディレイ数	0
0x0A~0x0C	Packet header ID(3byte)	012345
0x0D	Thinning ADC Data:データの間引き間隔(1byte)	1
0x10	ADC select:ADCのチップ選択(1byte)	0(ADC1)
0x1□	ADC register:ADCのレジスタ	
0x20~0x37	ADC pedestal変更(1900+□)1byte×24ch	0
0x38~0x3D	Attenuator level:可変アッテネータレベル 2bit×24ch	0(1/1)
0x3E	Interlock:interlockのリセット・強制発報(2bit)	0
0x3F	Offset:ビーム位置のオフセット(1byte)	0.0mm(0x0)
0x40~0x6F	Strip position:SSEMのstripの位置(2byte×24ch)	
0x7E~0x7F	Threshold level:ビーム位置の閾値(2byte)	1.5mm(0x96)

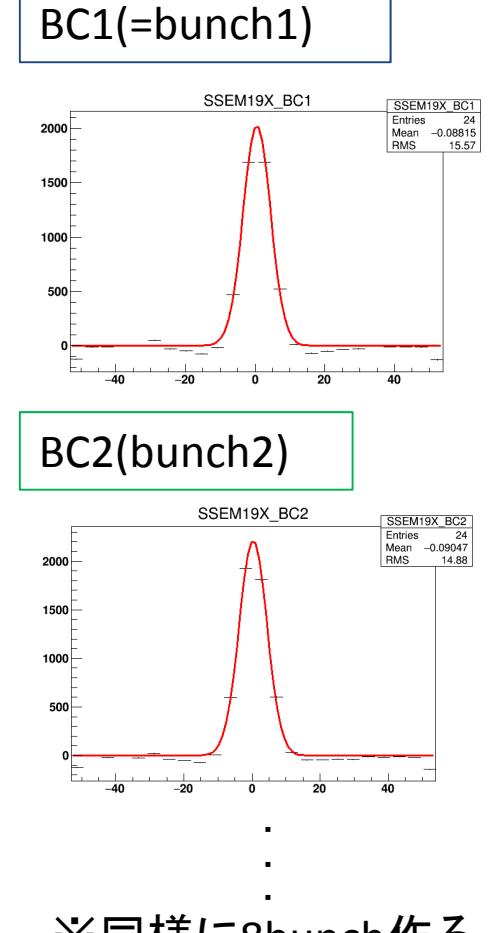
SSEMのbeam position の解析方法 T2Kで現在行われているビーム位置計算方法

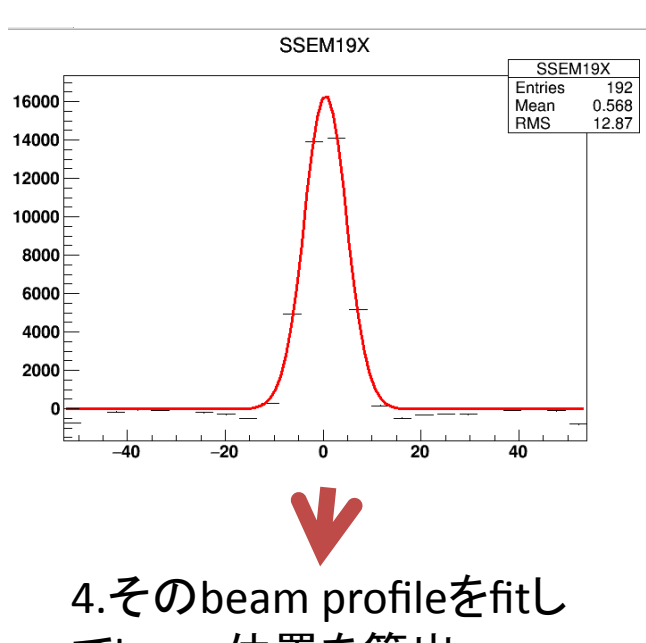
1.各stripでバンチ毎の信号量 Qを計算。QはADC peak-5bin ~ peak+15binの間のADCの和

2.各バンチ毎のbeam profileを作る

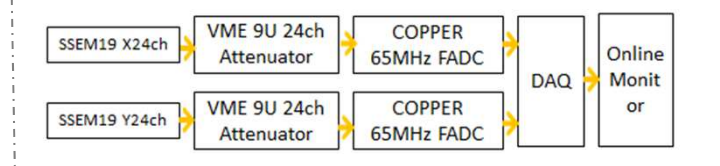
3.バンチ毎のbeam profileを足し 合わせたbeam profileをつくる





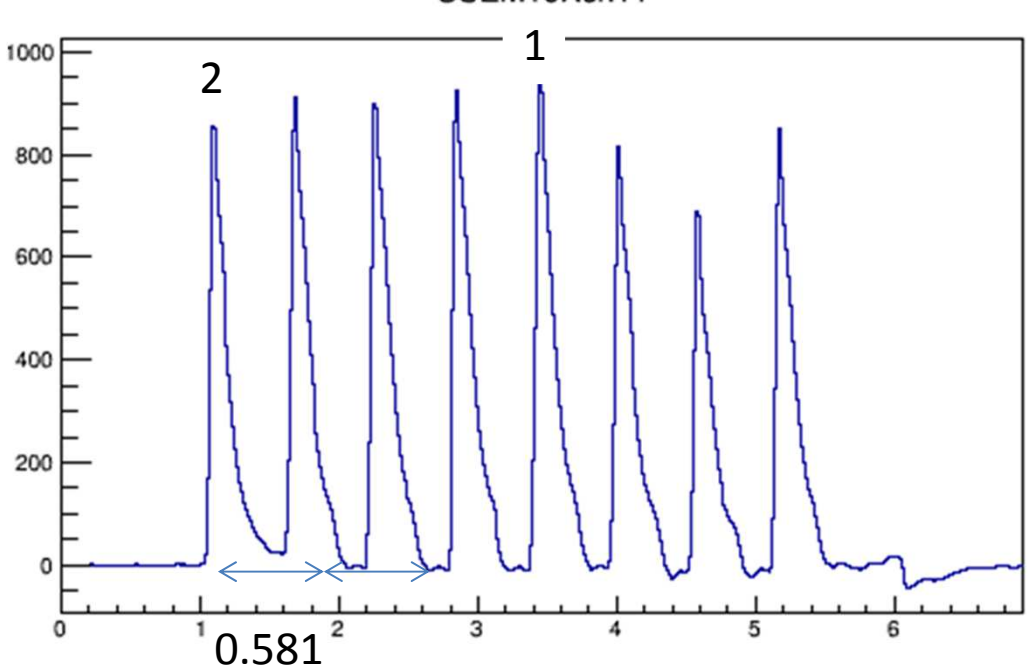


てbeam位置を算出



bunchのピークサーチの方法

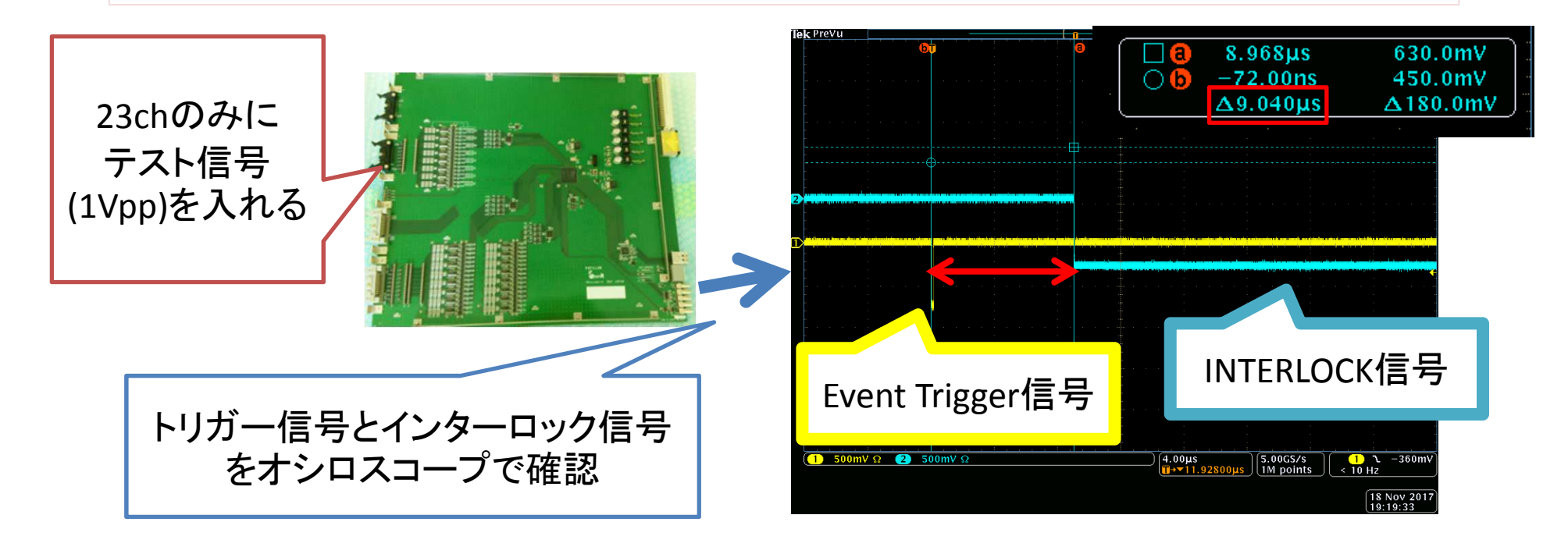




T2K official code study

- 1. Spill間で波形のピークサーチを行う
- 一番高いピーク位置を決定する (>0.5*highest peak)
- 3. 他のbunchのピーク位置を一定間隔 (0.581micro sec)で決定する
- 4. peak-5bin~peak+15bin (20 bin)間で 積分する

INTERLOCK信号発報時間の確認



- Interlock信号をNIM OUTから出力されるように設定する。
- NIMからトリガー信号を入力し、データ取得開始。
- 23chのみにテスト信号を入れて、位置計算開始。
- トリガー信号とINTERLOCK信号との差を測定する。
- ⇒ 9.04µsであることが分かった。
- ⇒10ms以内でInterlockを出すのが目標だったため、要求を満たしていることを確認

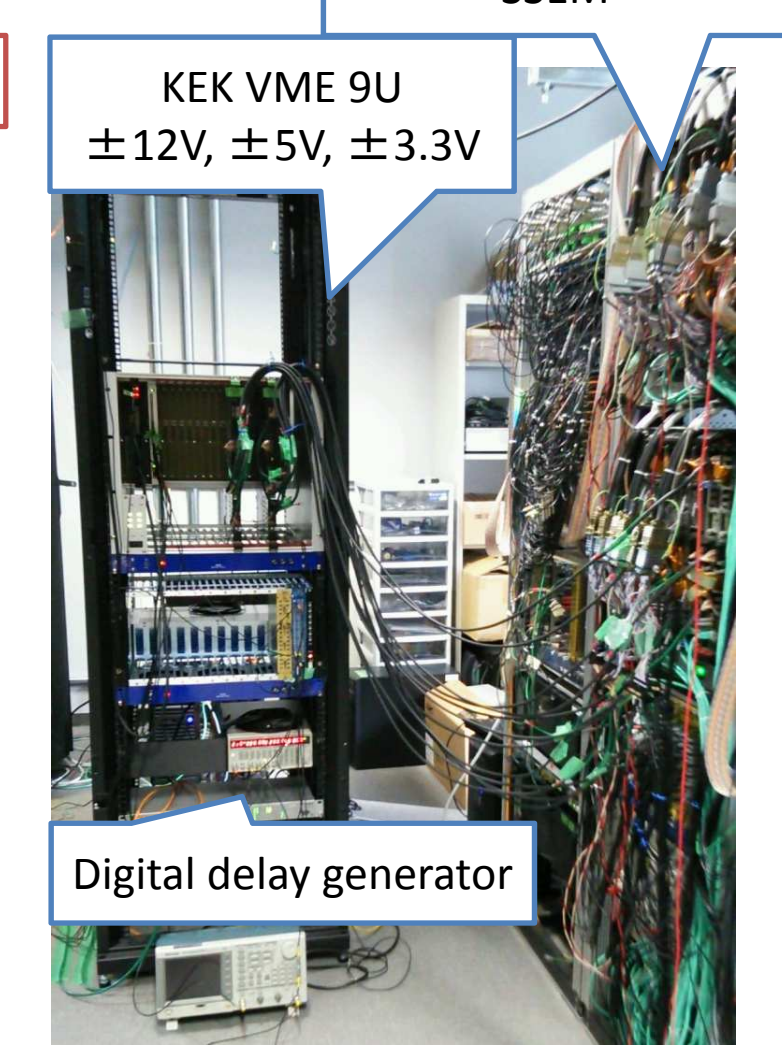
実験のセットアップ

Attenuator board for SSEM

PAPILLON BOARD × 2







80MHz*8µs=640sample

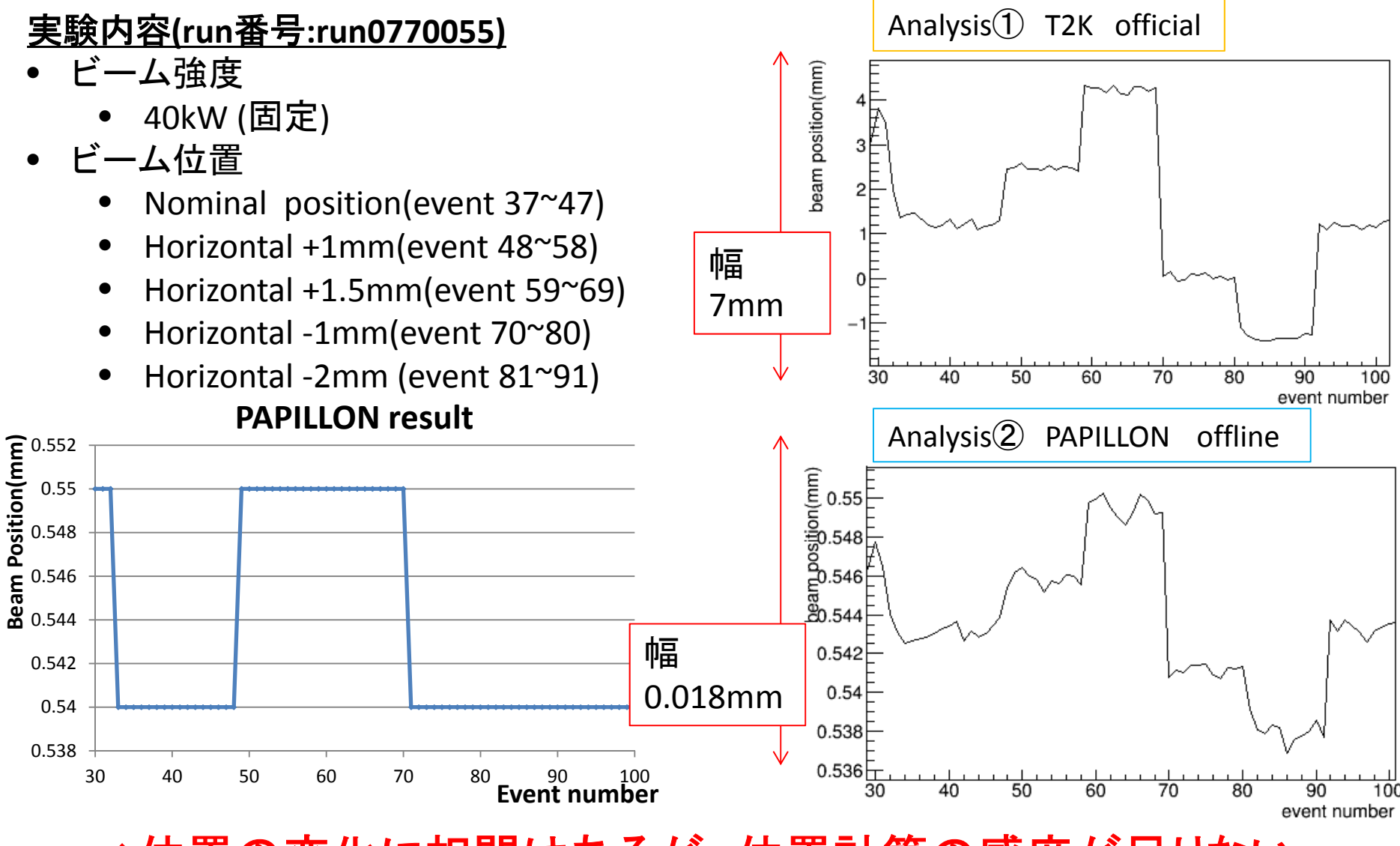
陽子ビーム



SSEM

ラックの裏側から、LANケーブル・トリガー信号を挿入(SSEMからの信号データ・計算結果をT2K DAQへ転送)

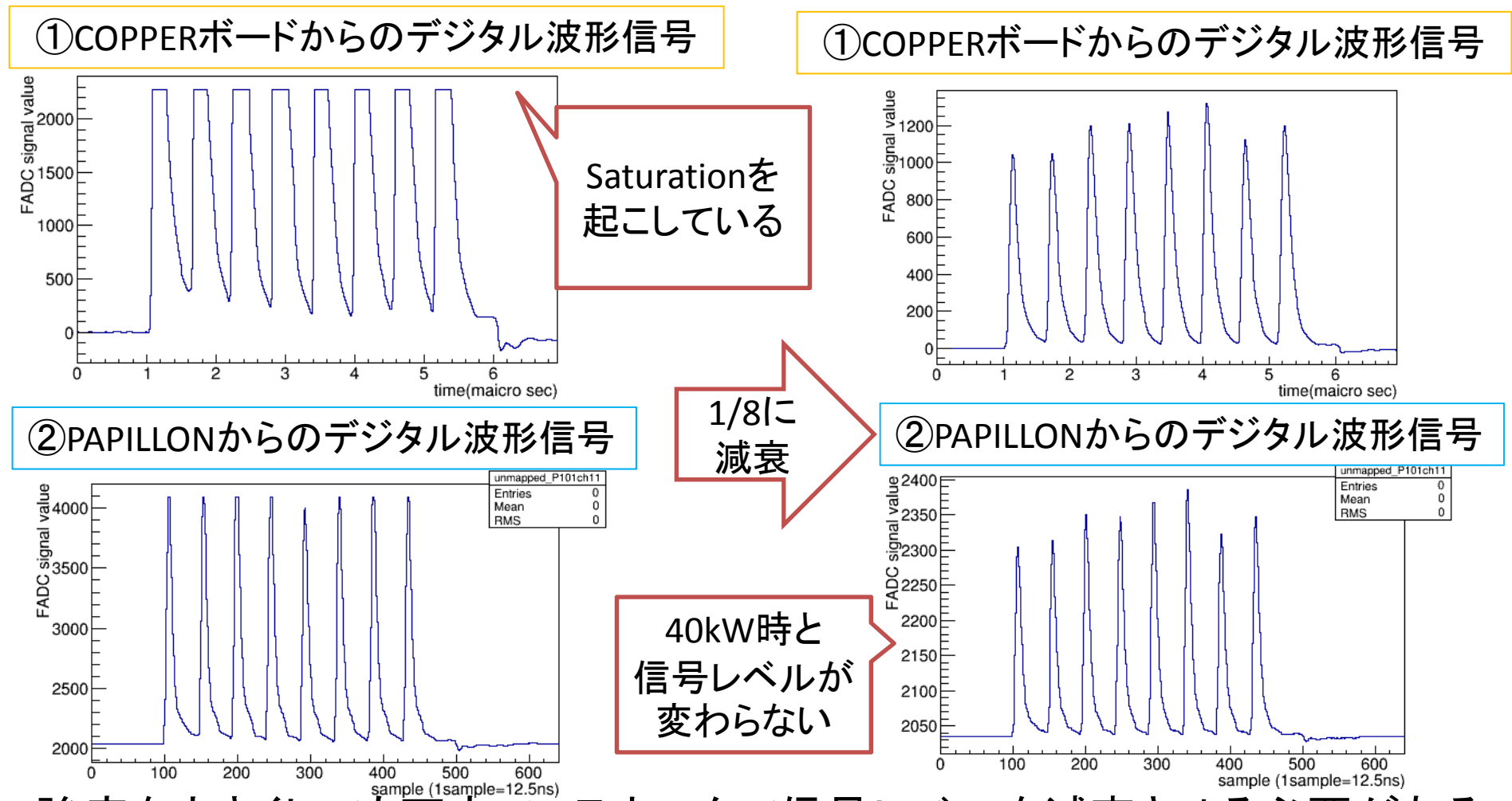
ビーム位置とfirmware位置計算との相関の確認



⇒位置の変化に相関はあるが、位置計算の感度が足りない

ビーム強度とfirmware位置計算との関係の検証

ビーム強度を450kWにして、信号波形の取得を行った。(run番号:run077005)

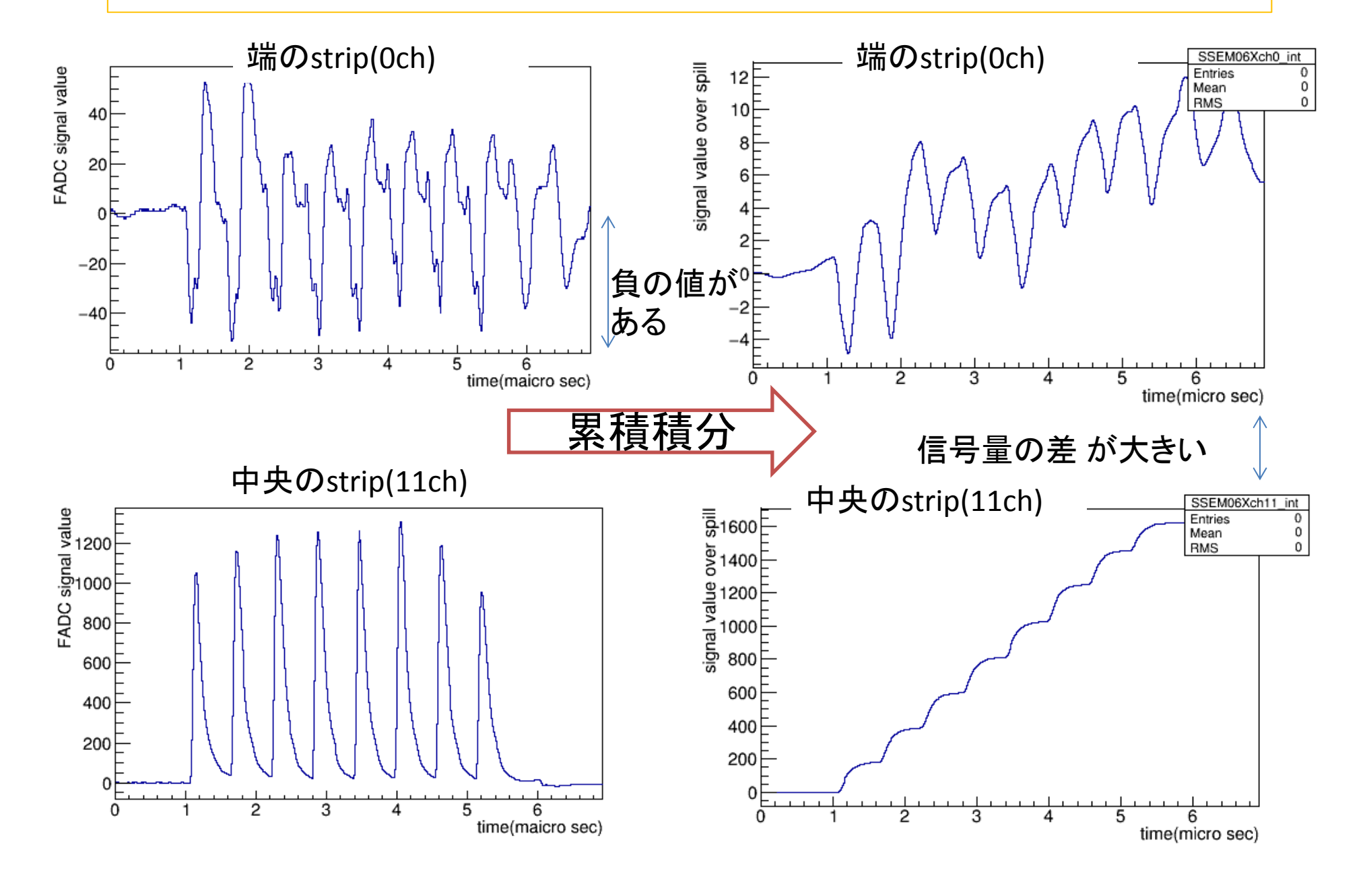


強度を大きくしても可変アッテネータで信号レベルを減衰させる必要がある。

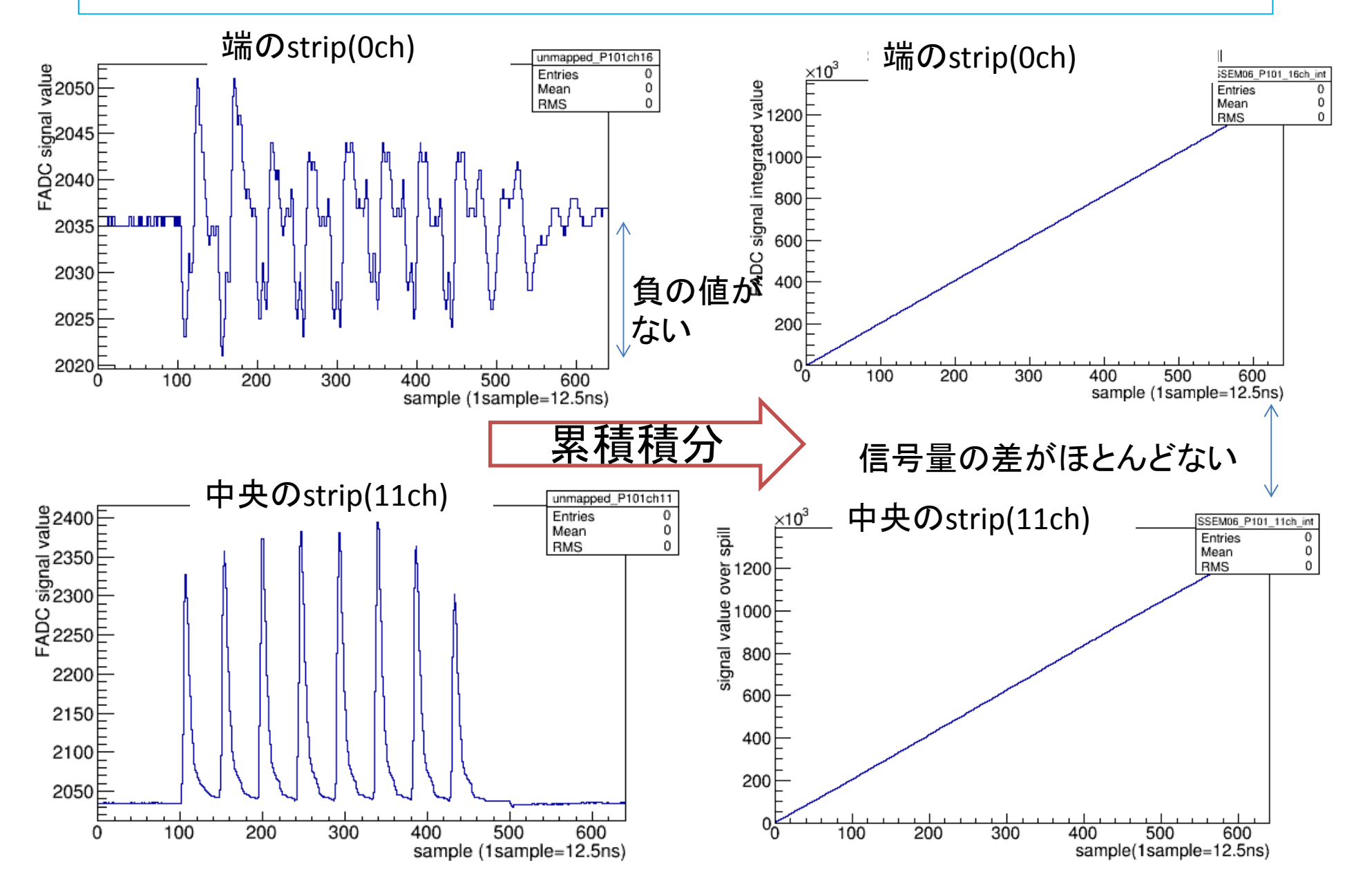
⇒ビーム強度はfirmwareの位置計算に影響を及ぼさない

陽子ビームのrun番号	強度	目的	
run0770054	40kW→14kW(2bunch)	setupの確認	
run0770055	40kW(8bunch)	ビーム位置とfirmware の計算位置との相関の 確認	
run0770059	450kW→260kW(8bunch)	ビーム強度とfirmware の計算位置との関係の 検証	
run0770060	450kW(8bunch)	T2K beam lineのbeam tuning(動作試験のデ バック用のデータ取得)	
run0770061	450kW(8bunch)		
run0770062	450kW(8bunch)	T2K beam lineの陽子 ビームの軌道の確認 (動作試験のデバック用 のデータ取得)	

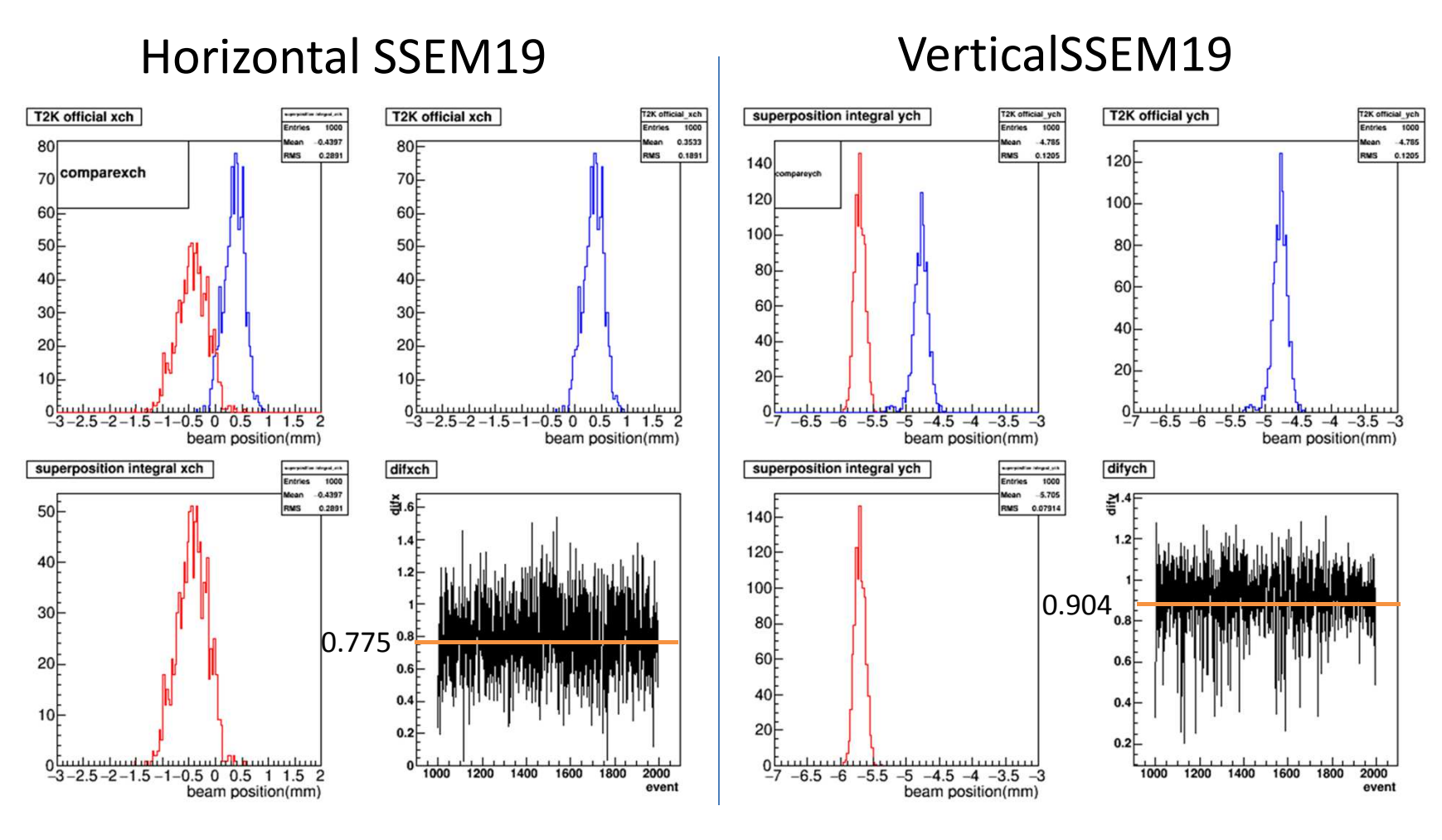
各stripの信号量計算 COPPERデータ



各stripの信号量計算 PAPILLONデータ

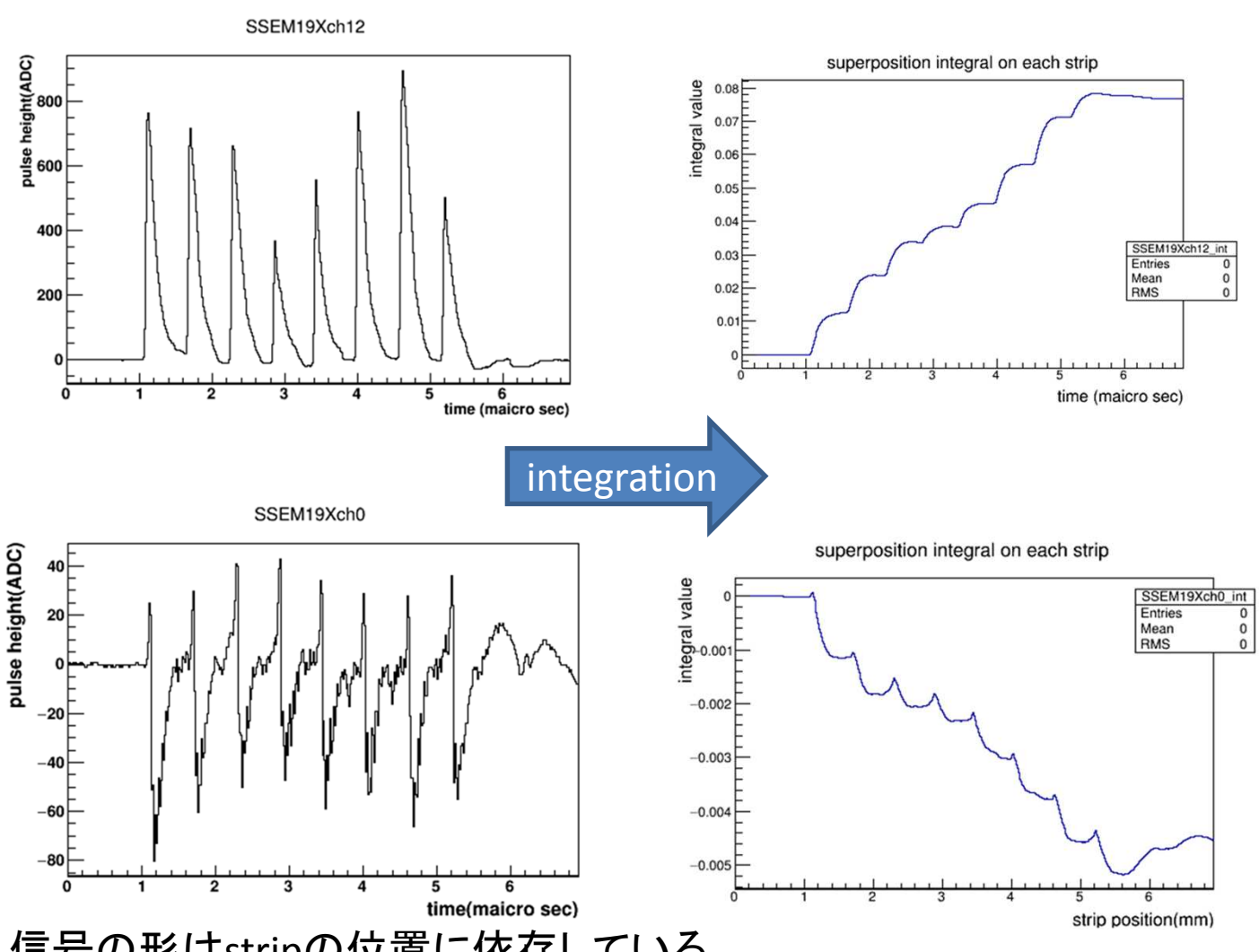


Run630083(May,30 2015 335kW physics run) のビーム位置解析結果



赤: papillonのビーム位置計算手法 青:T2K official のビーム位置計算手法 Orange: 2つの手法間のビーム位置の差の平均

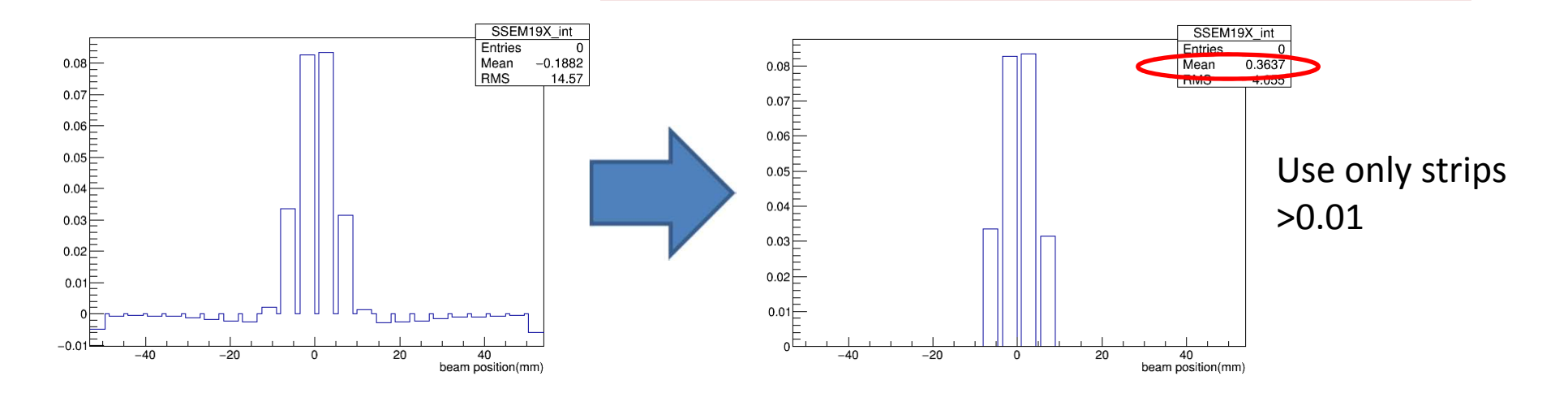
アンダーシュートについての考察

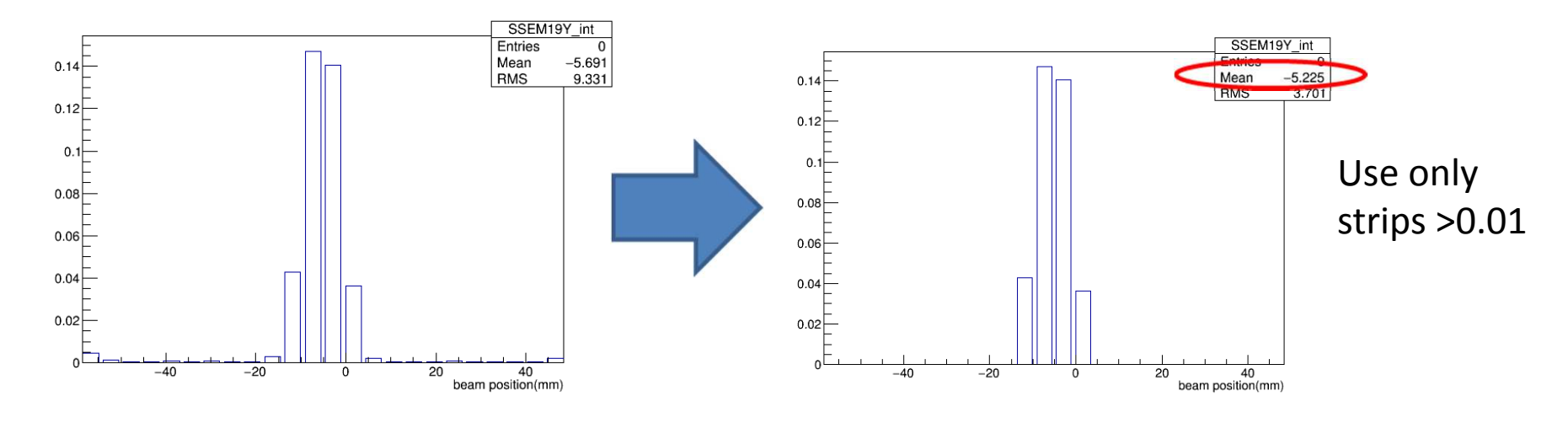


信号の形はstripの位置に依存している 端のstripの信号波形はノイズを含んでいる。

⇒ノイズを累積積分することによって、ビーム位置計算に影響を及ぼしている??

Undershoot





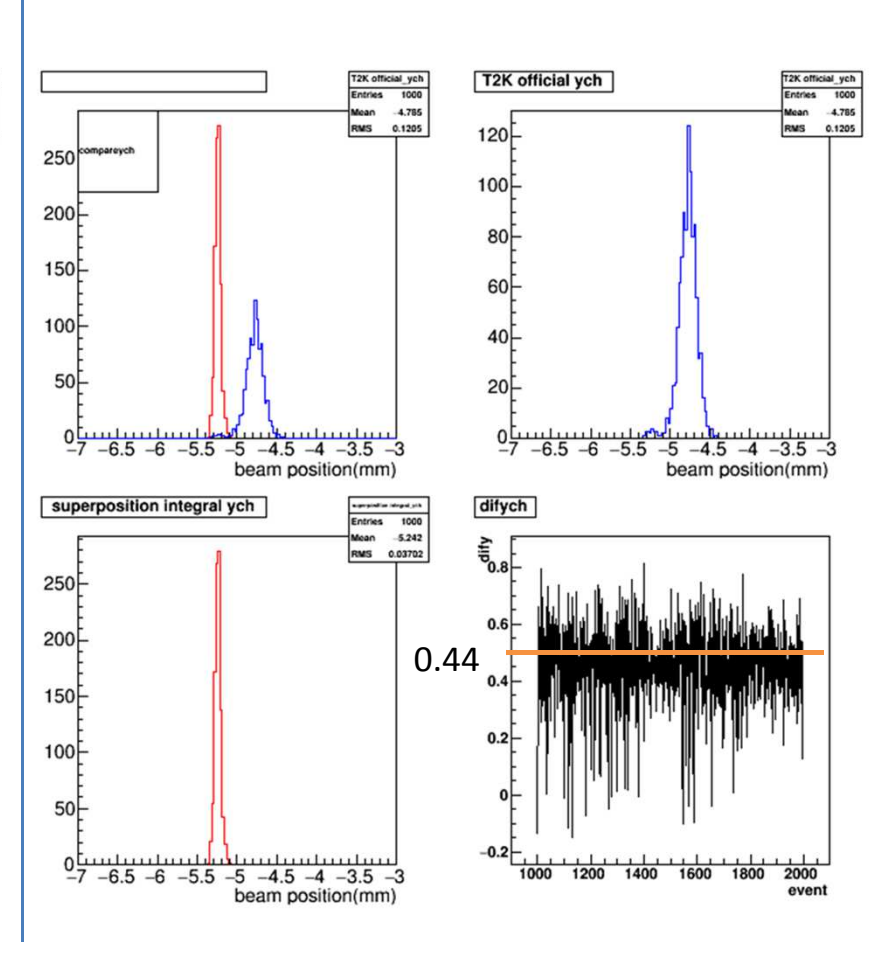
- ⇒ノイズを累積積分することによって、ビーム位置計算に影響を及ぼしている??
- ⇒端のstripをbeam profileから排除して、ビーム位置計算を行なう

アンダーシュートを起こしているstripのビーム位置計算結果を排除した結果

Horizontal SSEM19

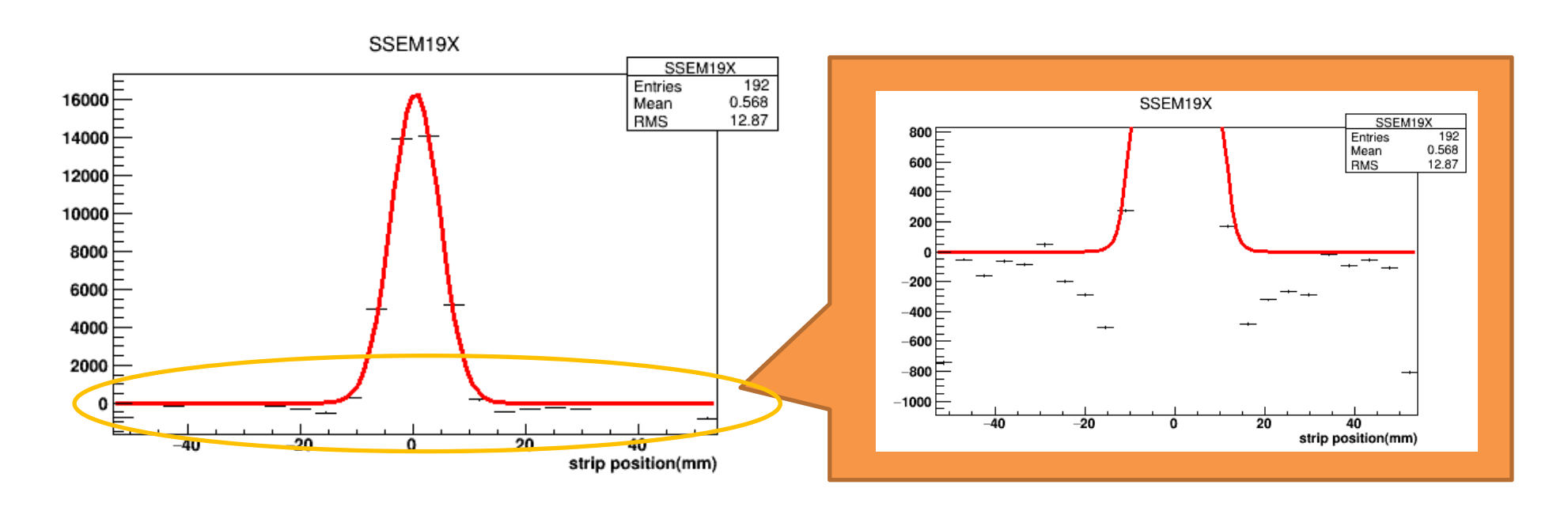
T2K official xch Mean 0.3533 RMS 0.1891 80 comparexch 70 -3-2.5-2-1.5-1-0.5 0 0.5 1 1.5 2 -2.5-2-1.5-1-0.5 0 0.5 1 1.5 2 beam position(mm) superposition integral xch difxch Mean 0.1139 RMS 0.179 0.21 -3-2.5-2-1.5-1-0.5 0 0.5 1 1.5 2 1200 1400 1600

VerticalSSEM19



赤: papillonのビーム位置計算手法 青:T2K official のビーム位置計算手法 Orange: 2つの手法間のビーム位置の差の平均

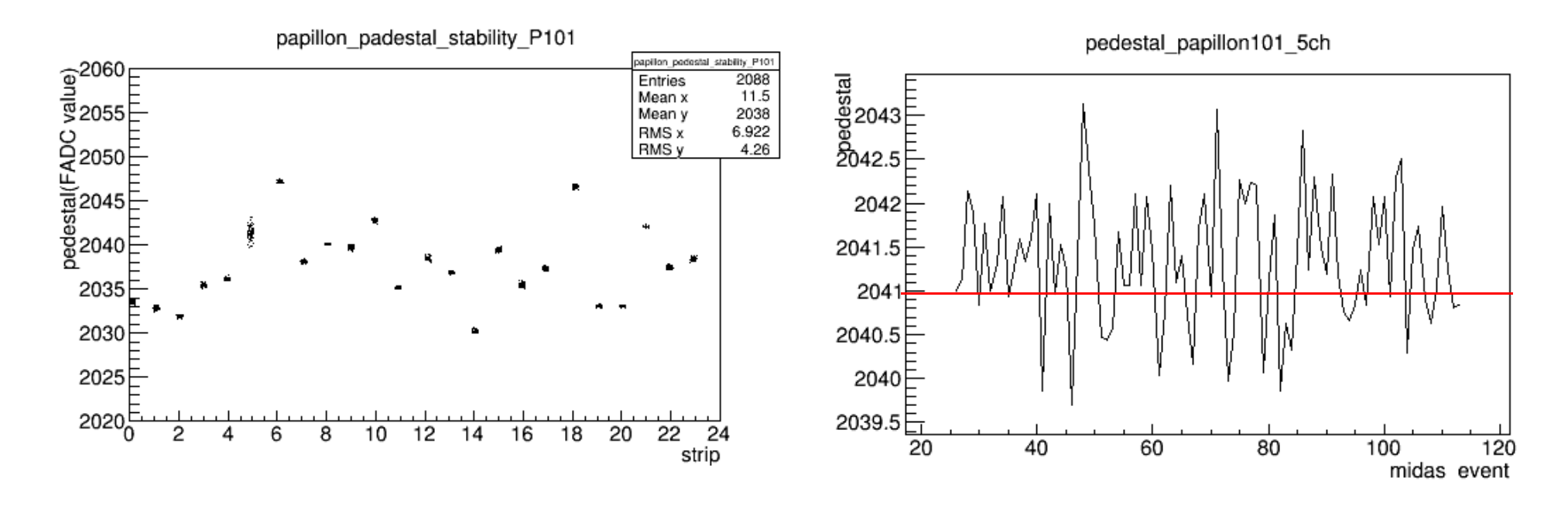
T2K officialの端のstripの信号量の扱い



- T2Kの現在のビーム位置解析は、beam profile をガウスフィット(またはダブルガウスフィット)をして、中心値をビーム位置としている。
- しかし、fit結果を見ると端のstripの信号量は 考慮されていないことが分かる。

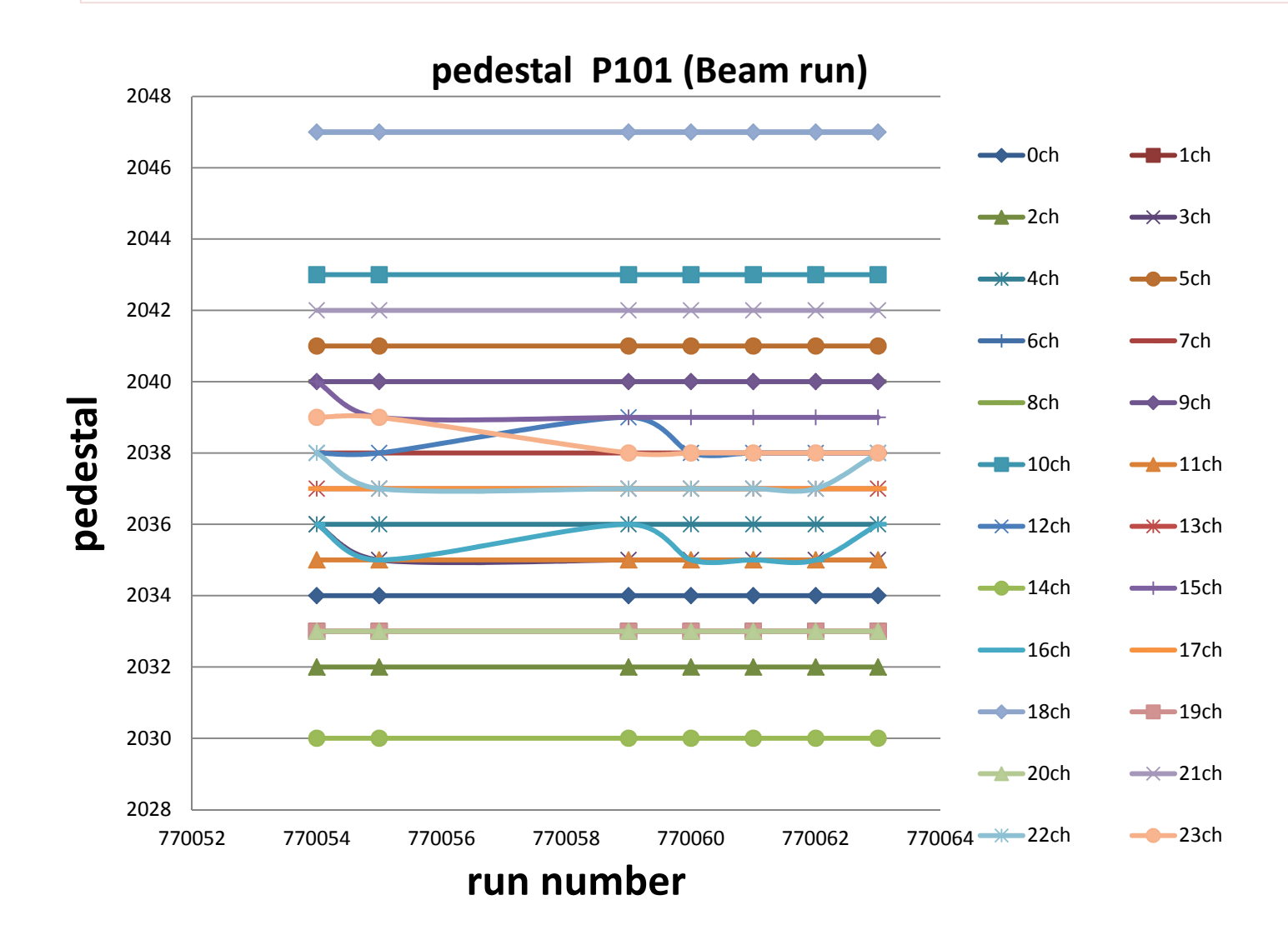
1陽子ビームラン中のペデスタル値の安定性

2017/11/20のビームランのデータを用いて、ペデスタル値の安定性の 検証を行った。



変化が一番大きい5番目のstripのペデスタル値で変化の幅が4 ⇒1陽子ビームランでペデスタル値が安定していることが確認できた

複数の陽子ビームラン間のペデスタル値の安定性



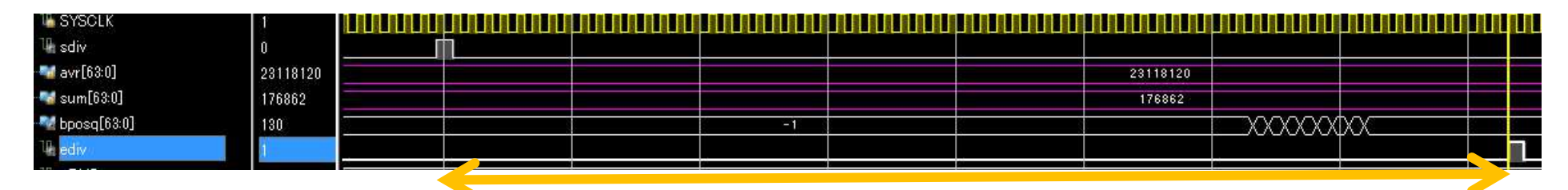
Firmware中でペデスタルを計算しようとすると・・・

Papillonで各stripの1spill間の信号量(= Q_{strip})計算を行なう際に、信号のペデスタル(=信号の基準レベル)を考慮する必要がある。

$$pedestal = \frac{\sum_{i=1}^{30} P_i}{30}$$

$$Q_{strip} \cong \sum_{i=1}^{640} (p_i - pedestal)$$

Firmwareで割り算をするためには、提供されている"割り算器"を使用する必要がある。



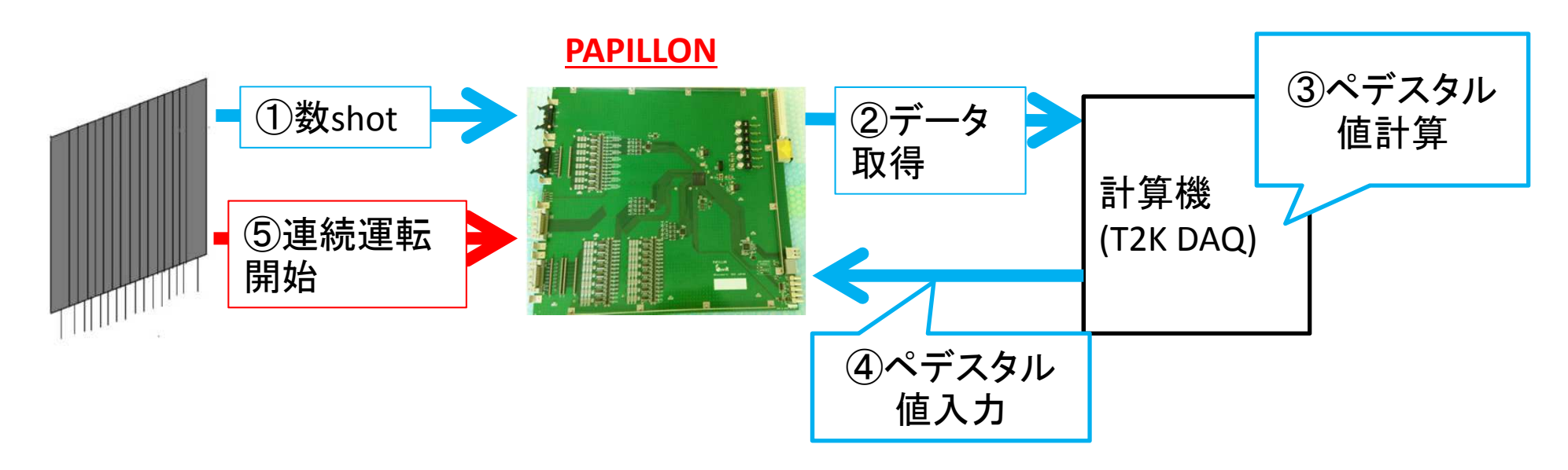
割り算器は計算が始まって終わるまでに時間がかかる(シミュレーションでは418.75ns)

24stripのペデスタルを並行して計算することを考えると、全てのstripのペデスタルの計算が同時に終わる必要がある。

⇒タイミングがずれると、その後の信号計算が正しく行われないため、この方法は危険である。

(改良2)ペデスタル値の計算方法

- 正確にペデスタル値を計算し、ビーム位置計算精度を向上させる
- Offlineで計算した各stripのペデスタル値を外部PCから入力出来る firmwareを開発した。



動作試験で取得したデータを用いて、各stripのペデスタルの安定性を調査した結果、 陽子ビームの強度や位置に関わらず、ペデスタルが安定していることが分かった。

⇒T2K実験の週に1回のメンテナンス日を利用すれば、実現可能である